

FIG. 1 PRIOR ART

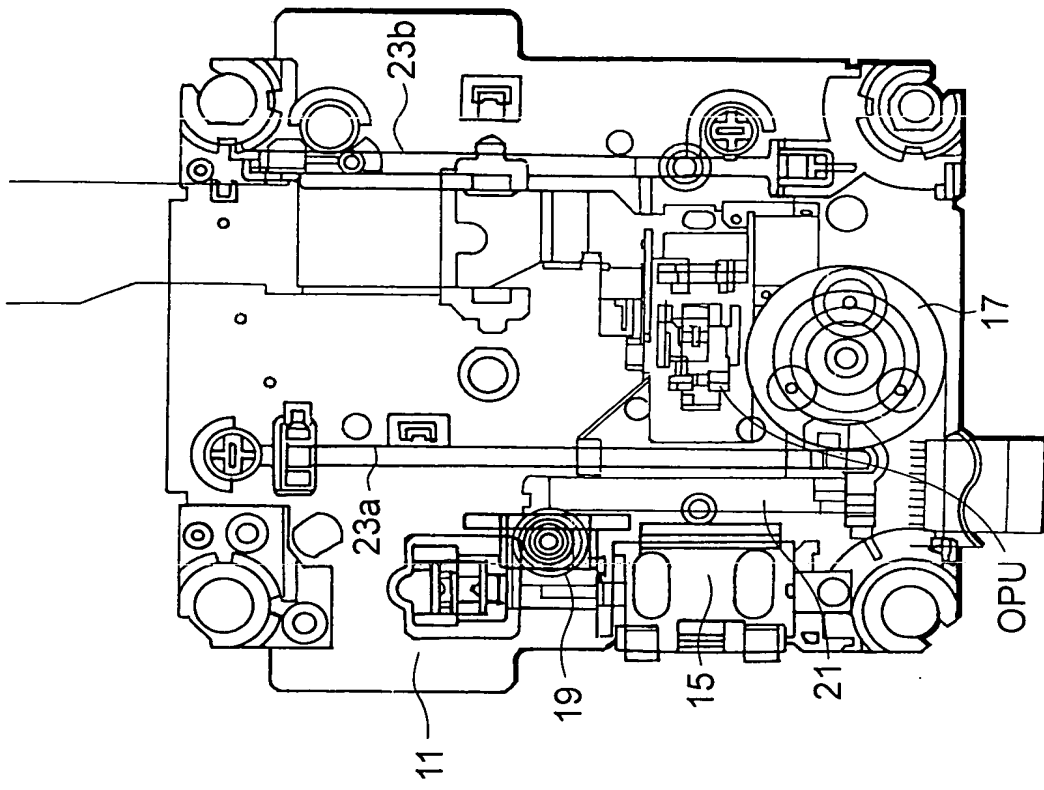


FIG. 2A

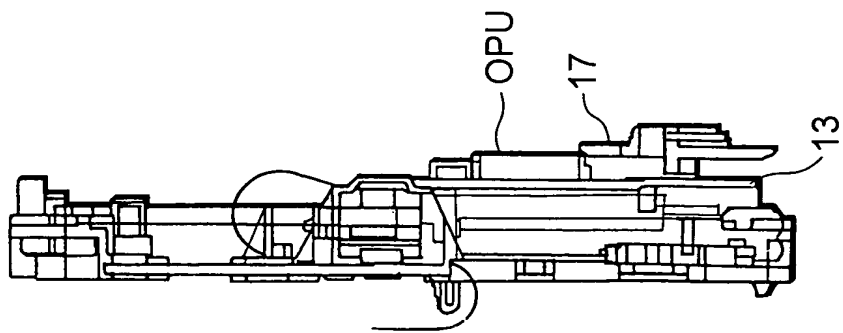
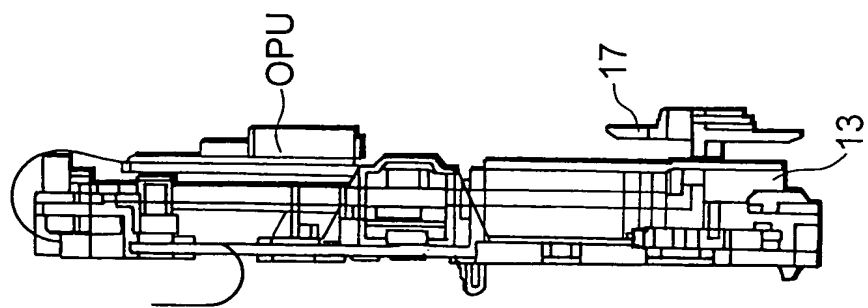
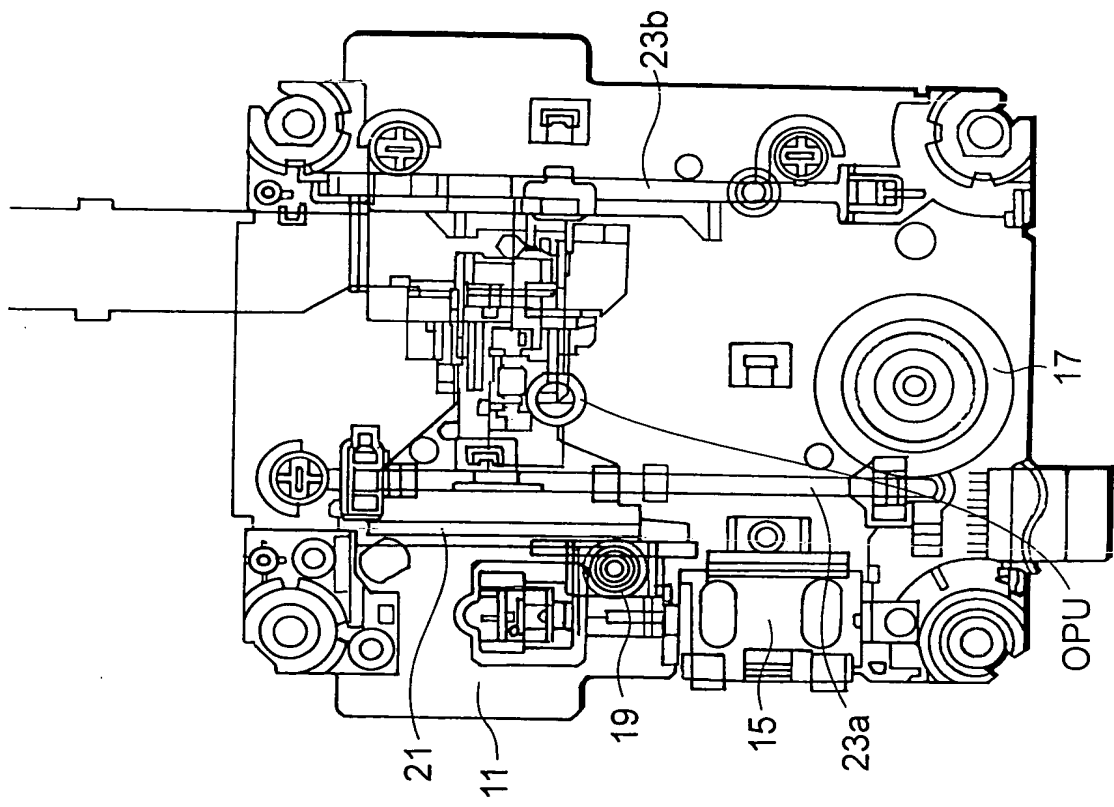


FIG. 2B



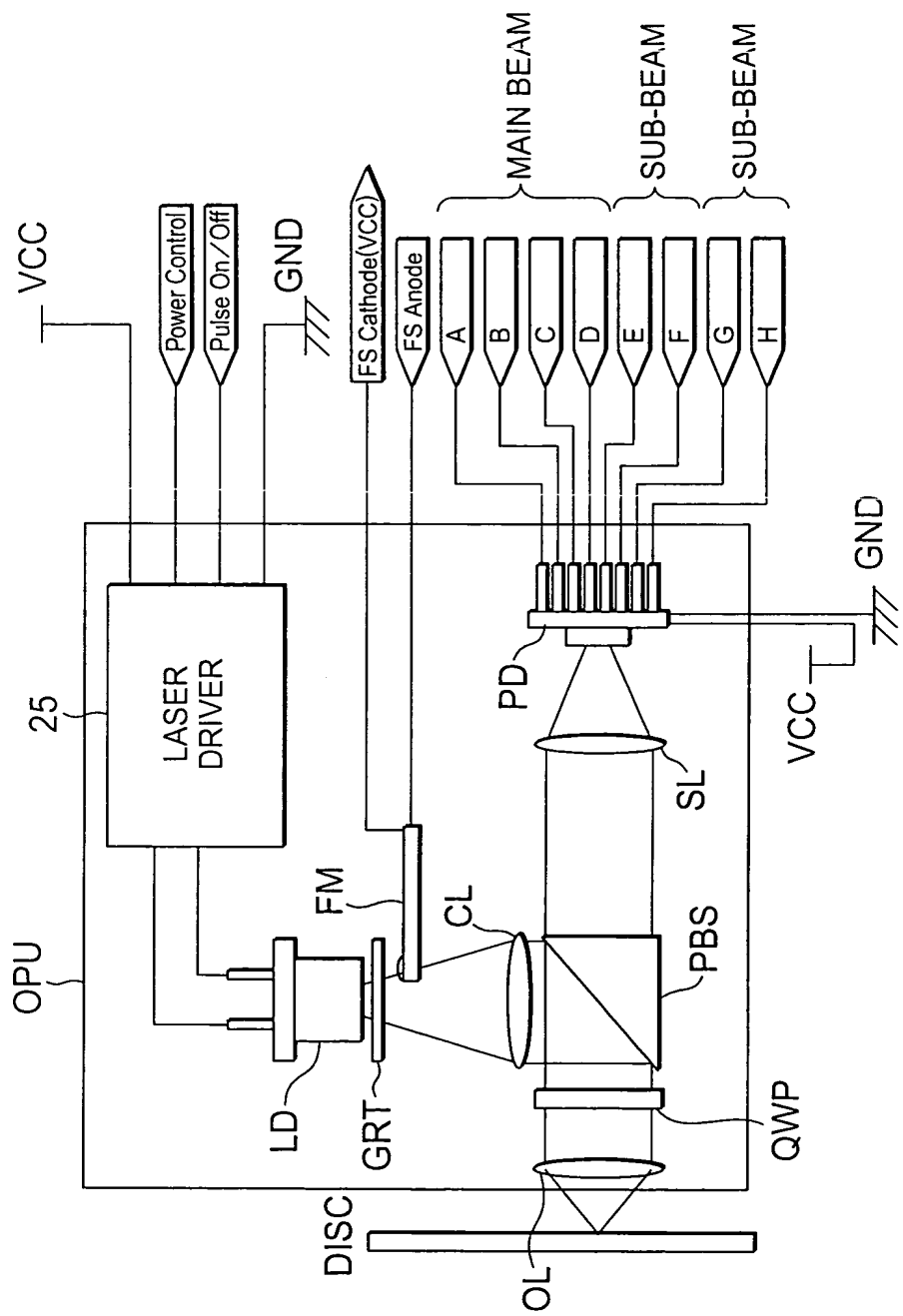


FIG. 4

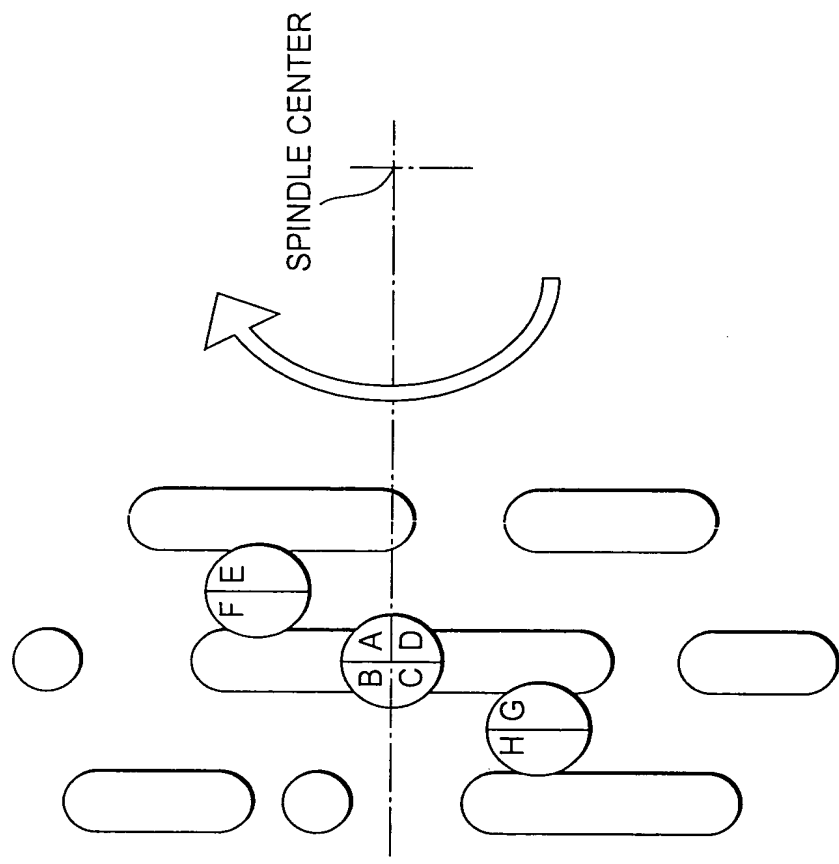


FIG. 5A

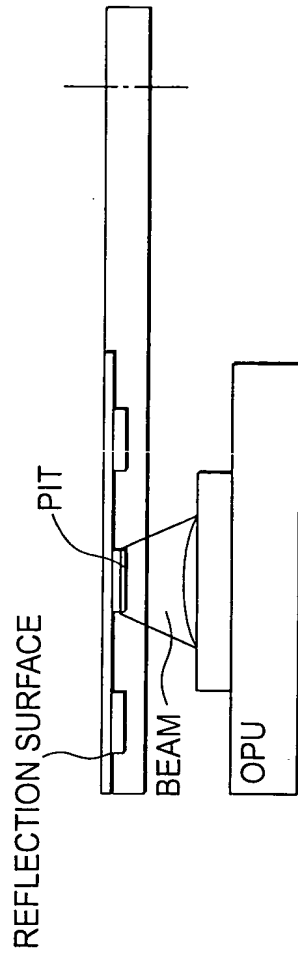


FIG. 5B

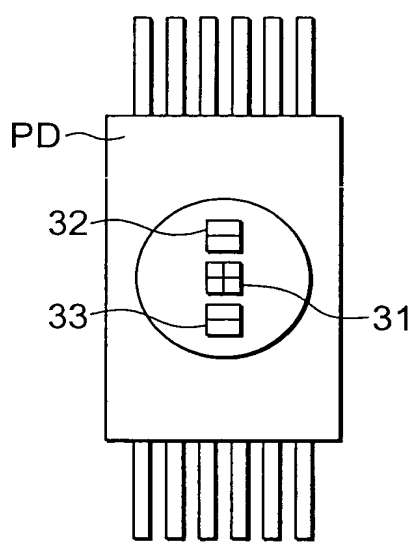


FIG. 6A

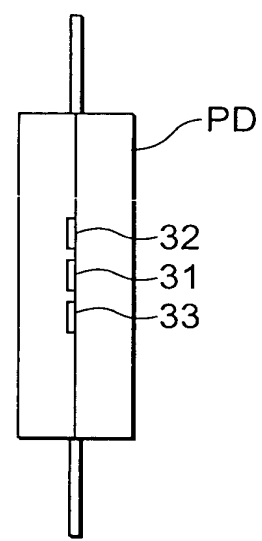


FIG. 6B

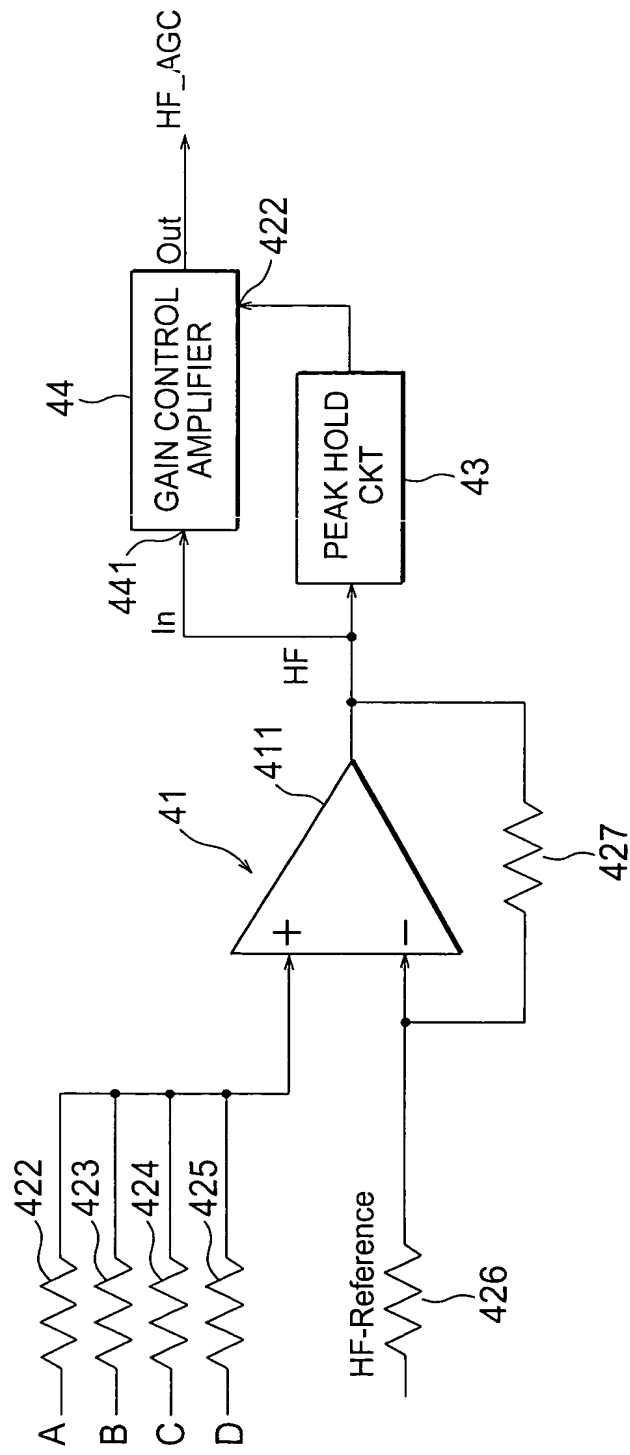
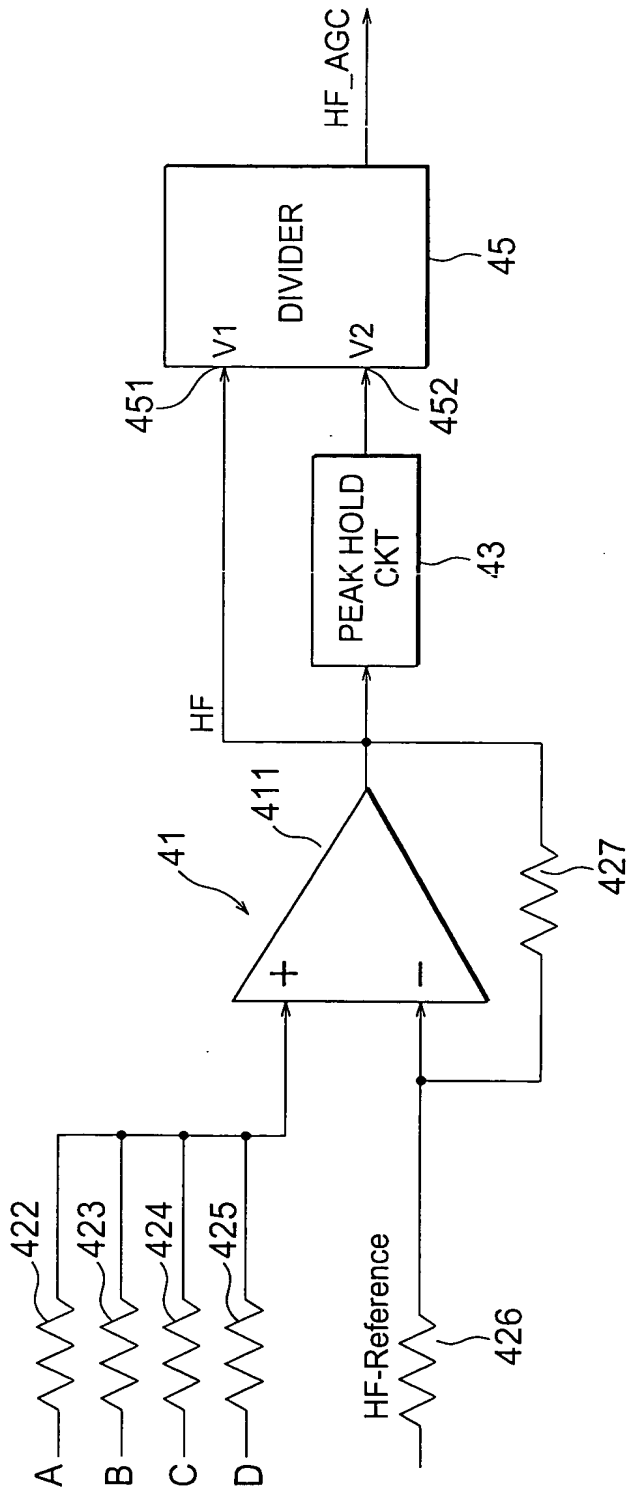


FIG. 7



80

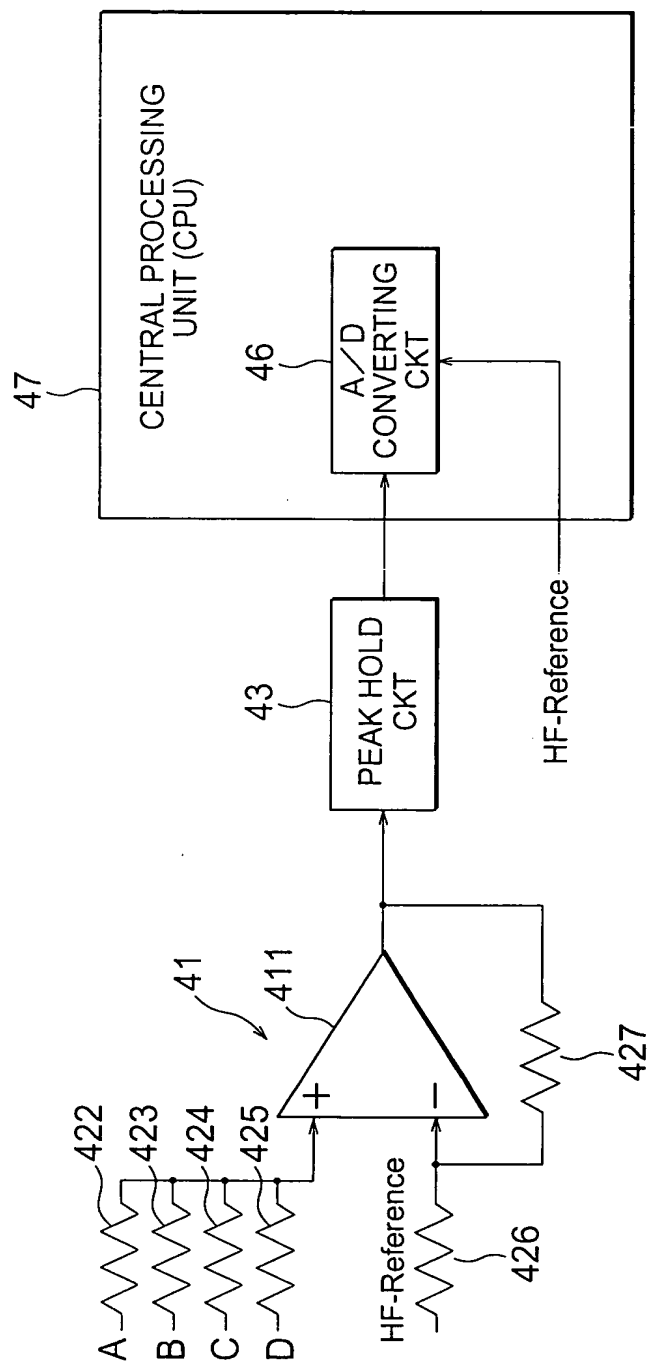


FIG. 9

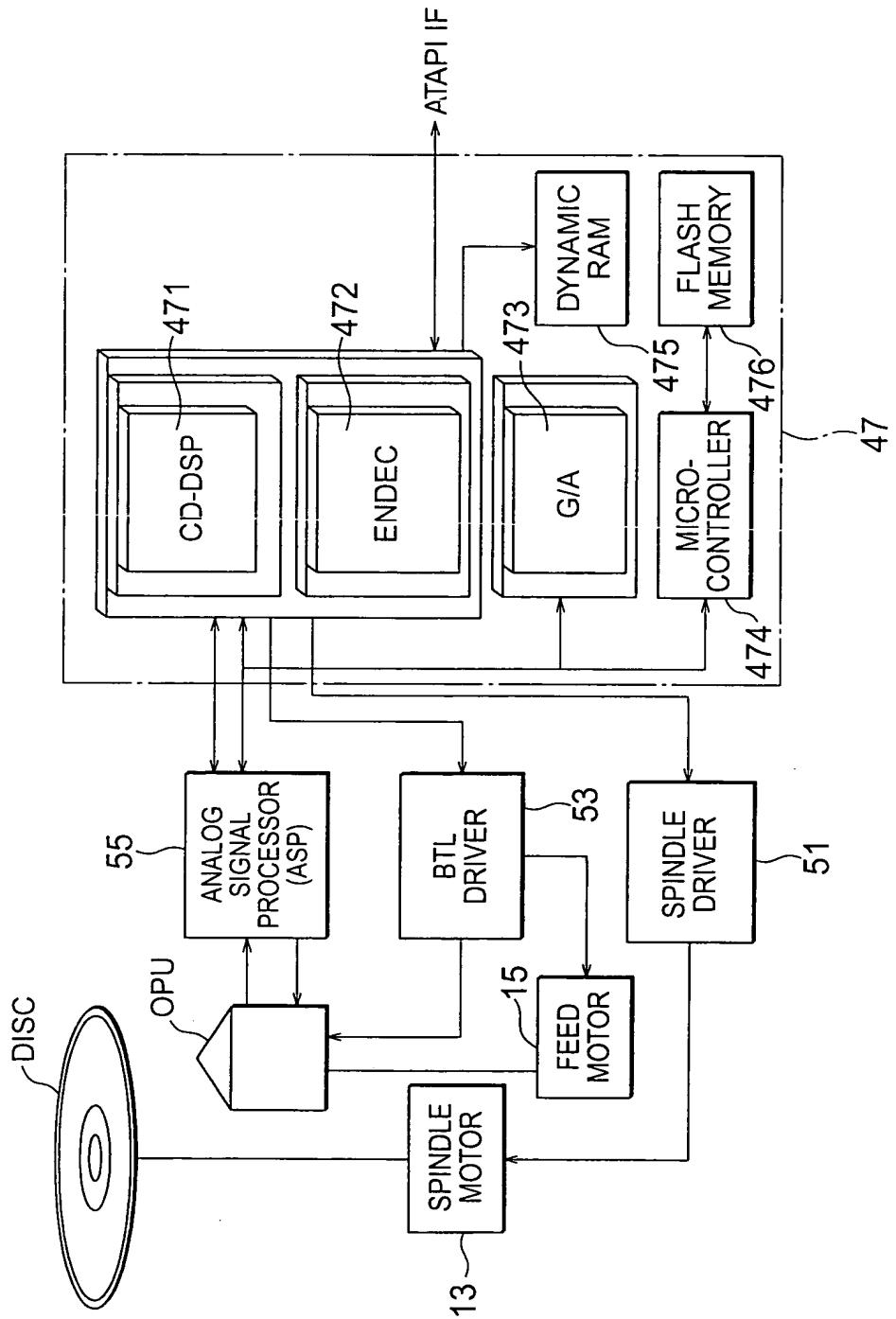


FIG. 10

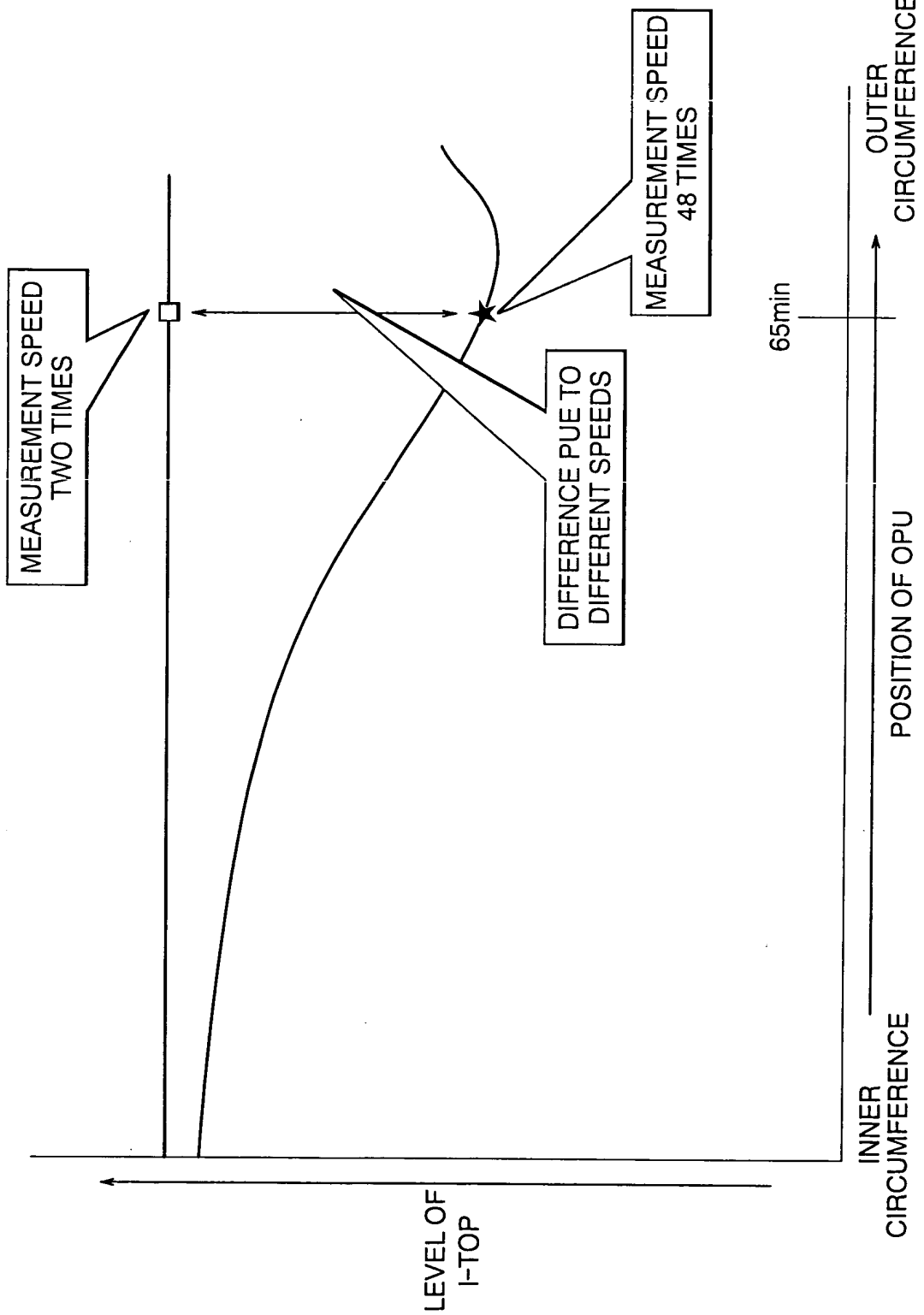


FIG. 11

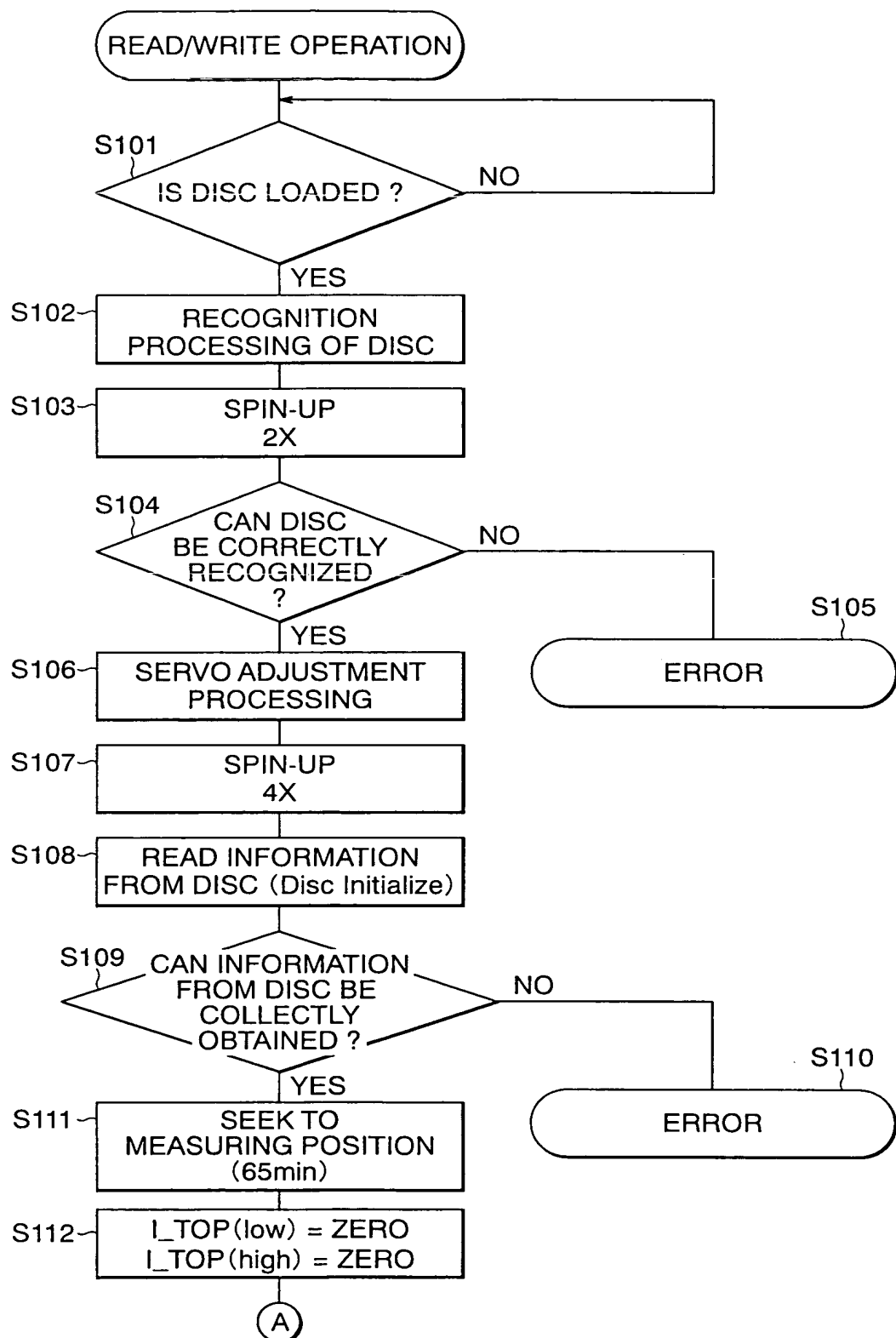


FIG. 12A

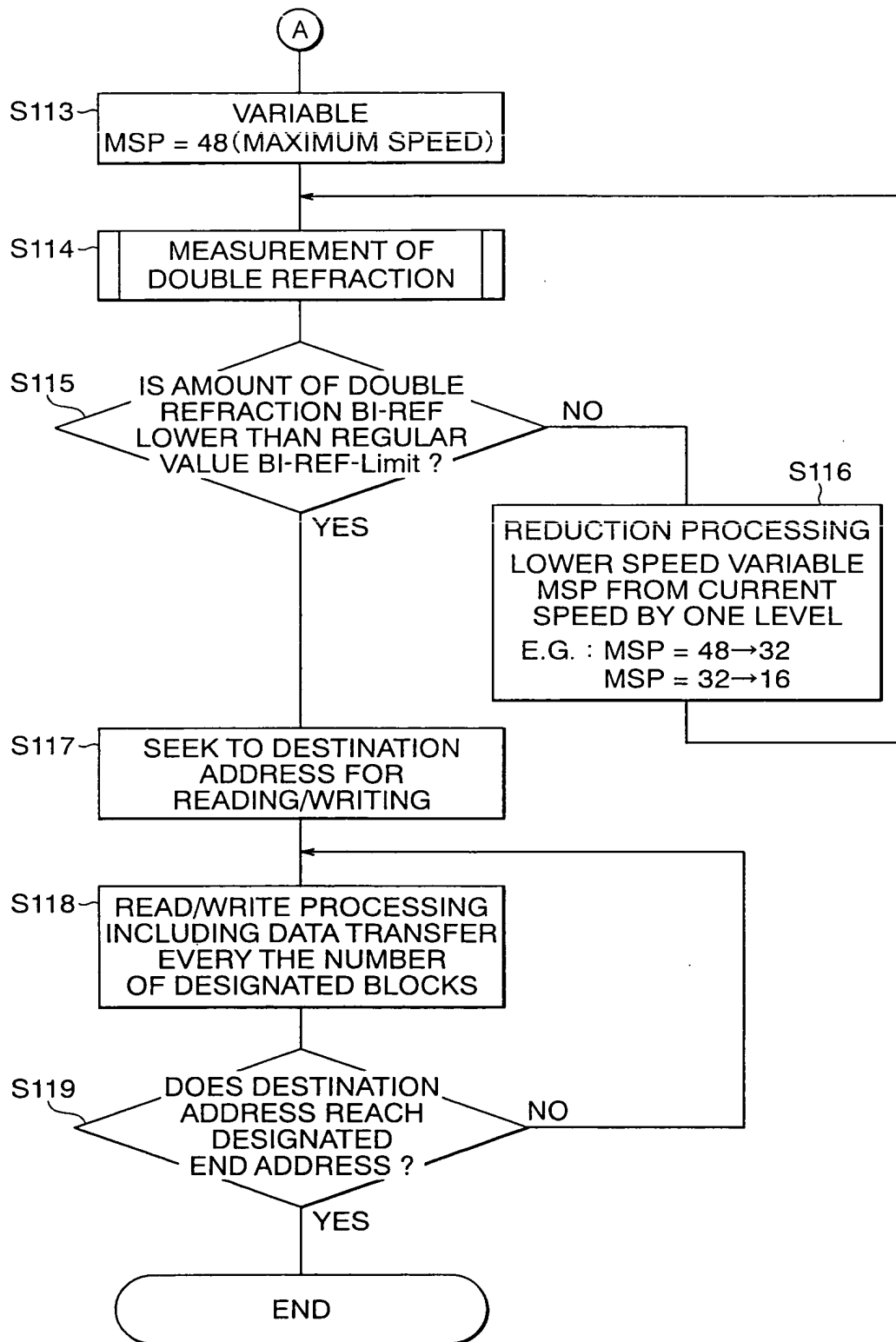


FIG. 12B

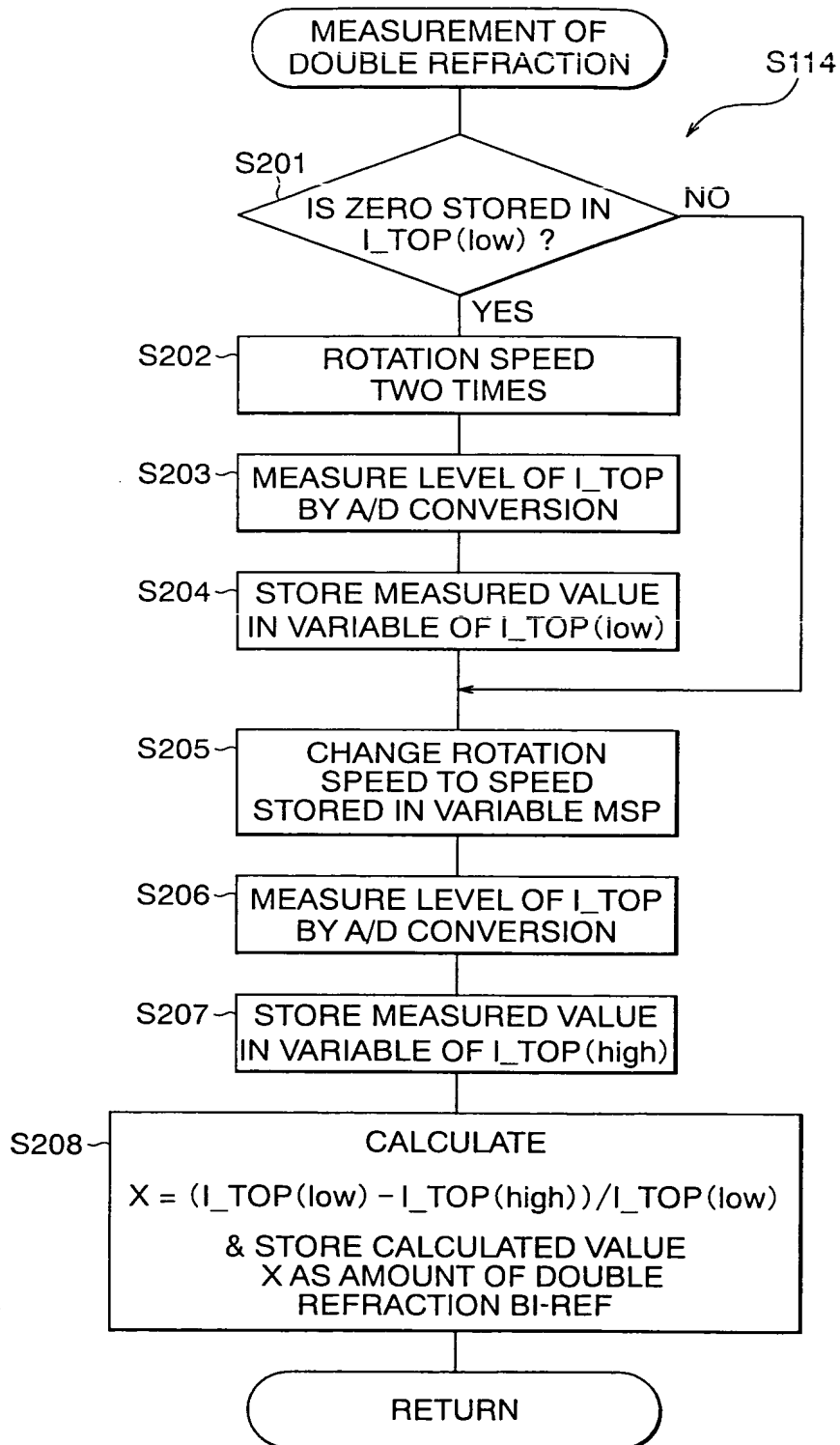


FIG. 13

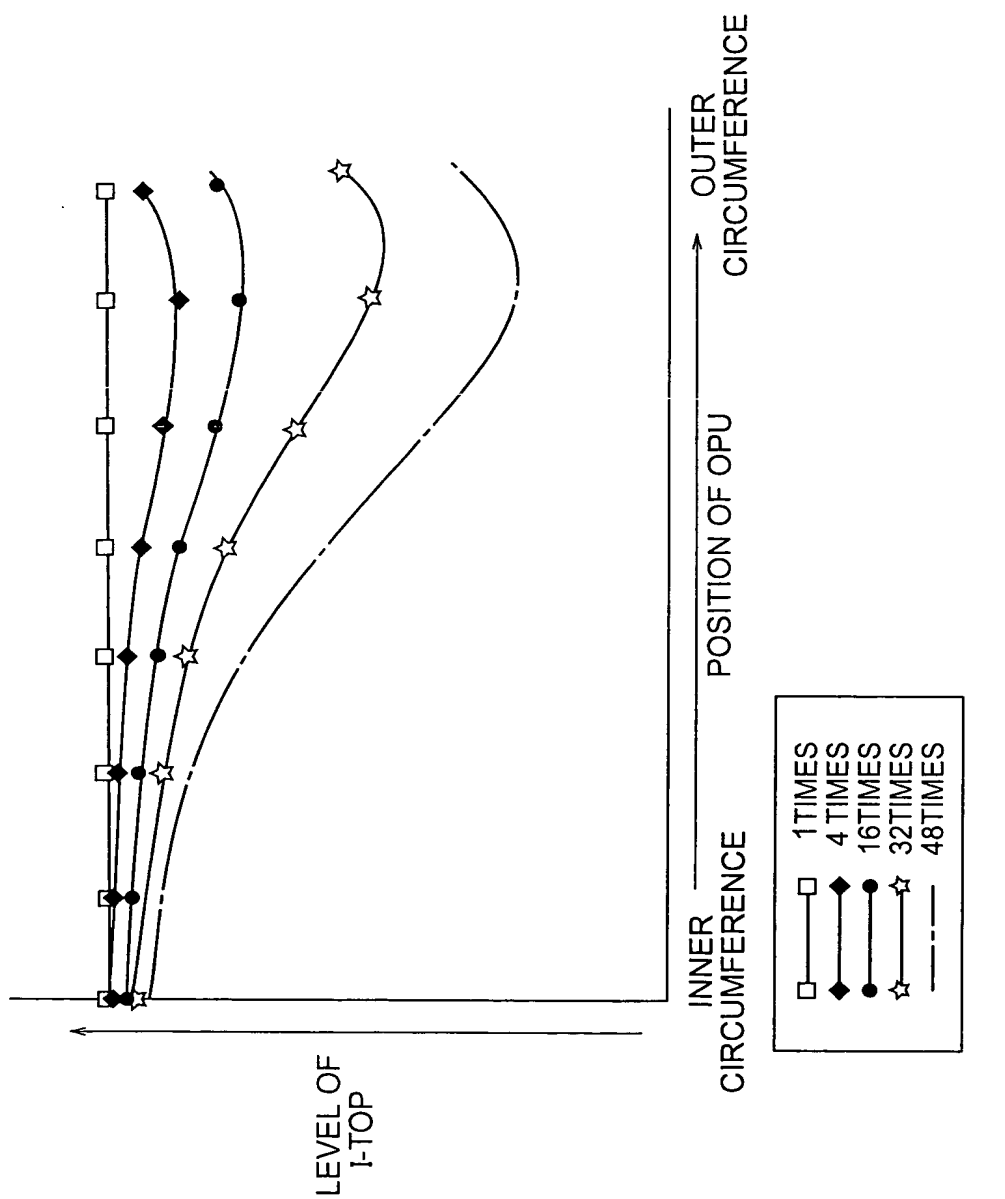


FIG. 14

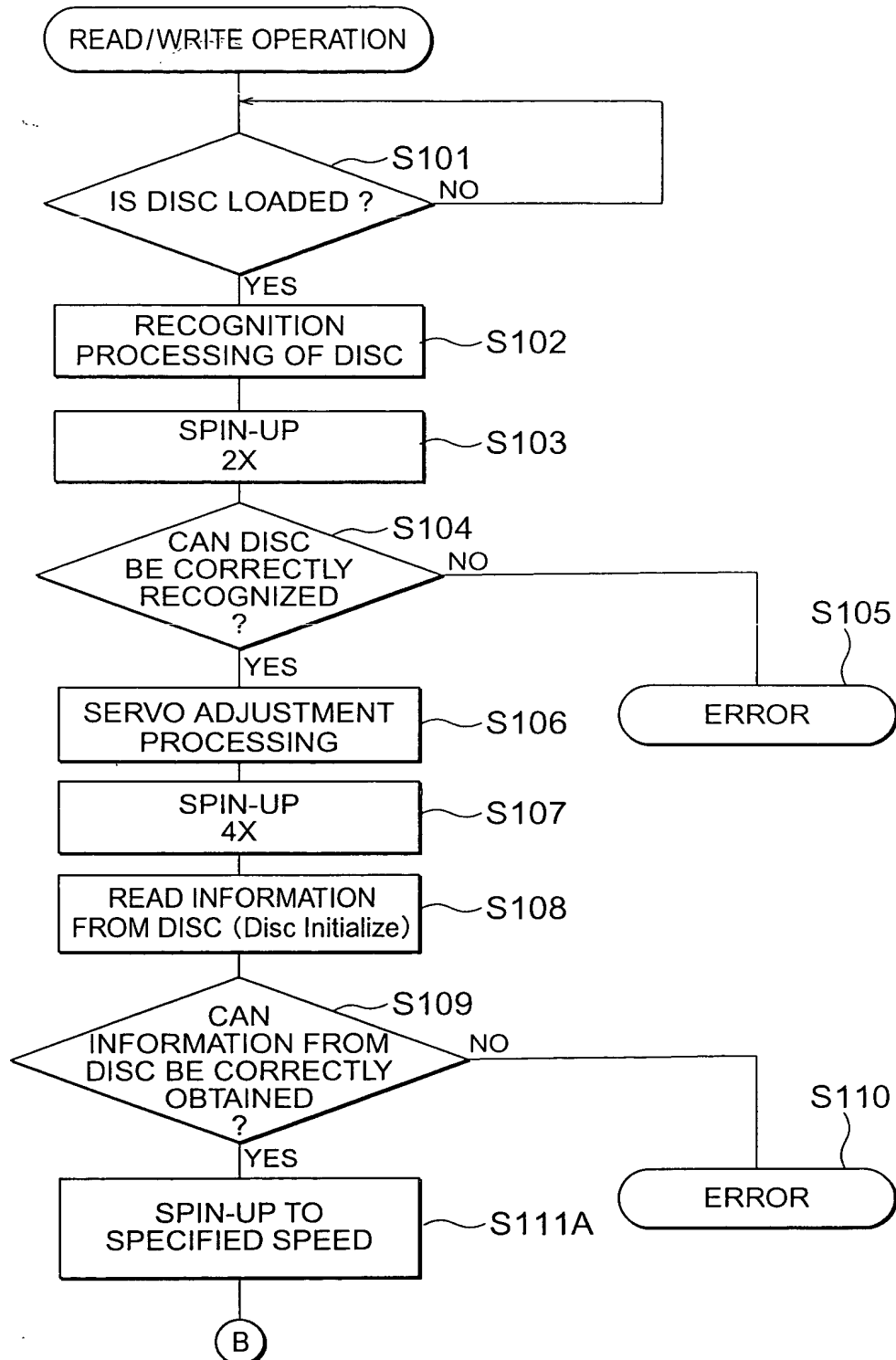


FIG. 15A

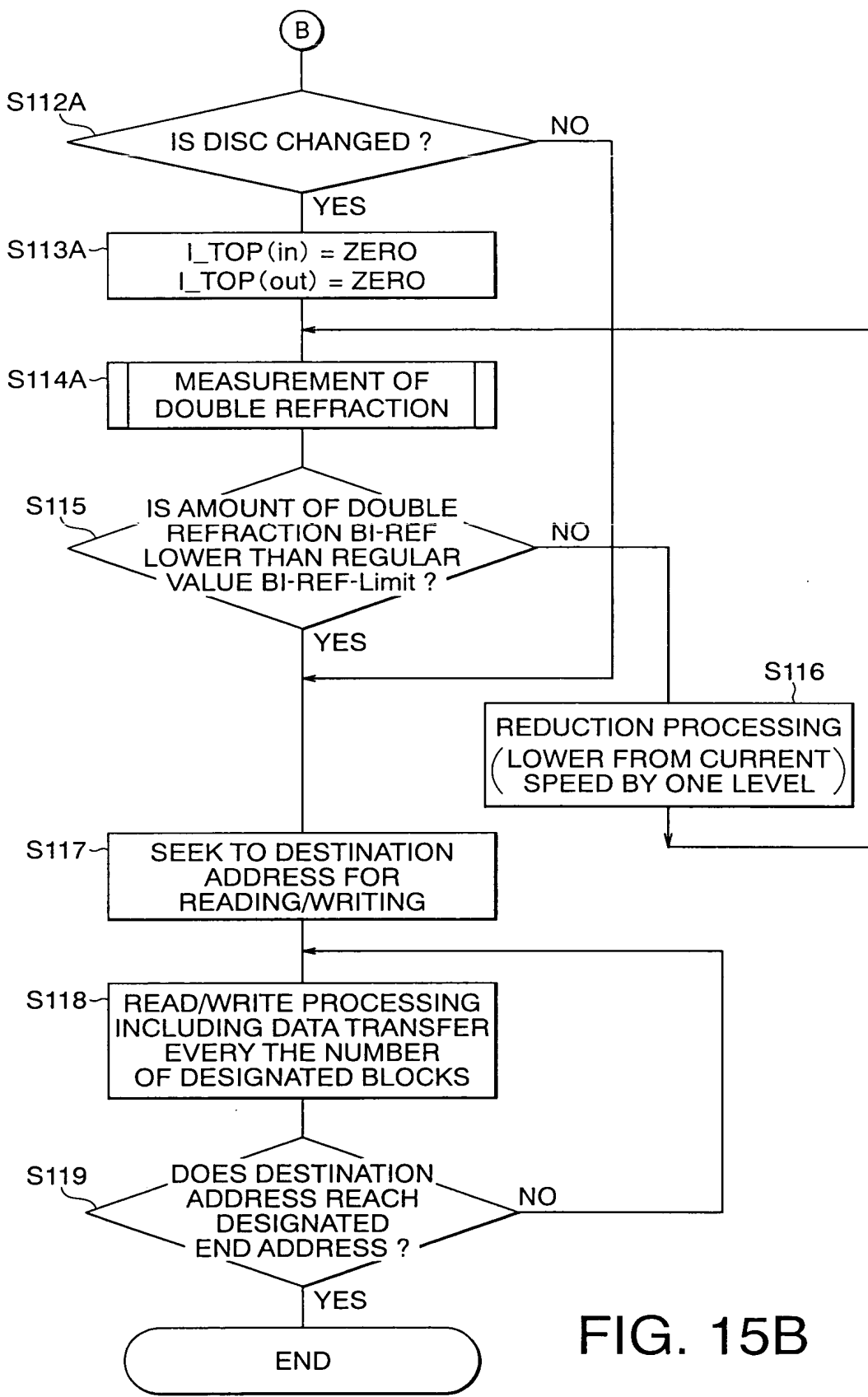


FIG. 15B

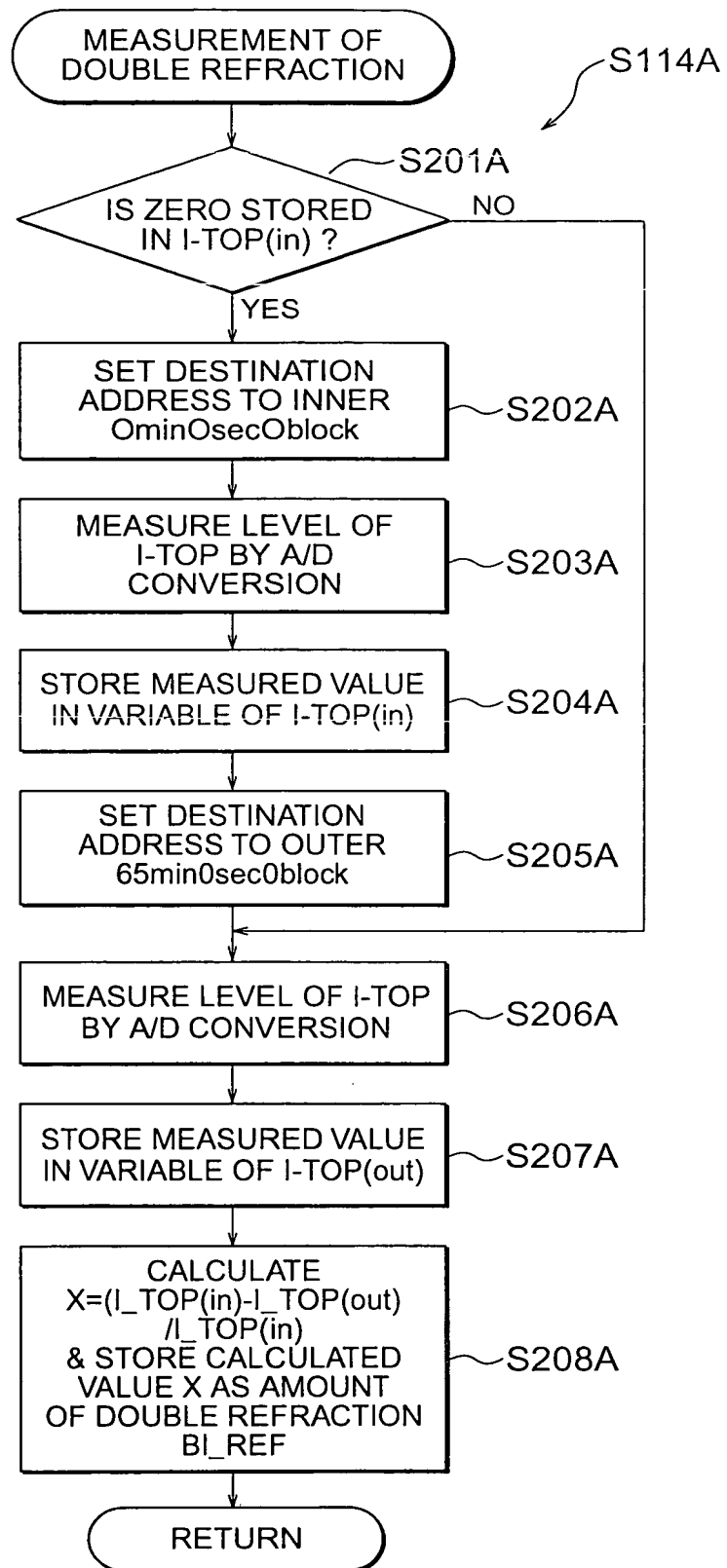


FIG. 16

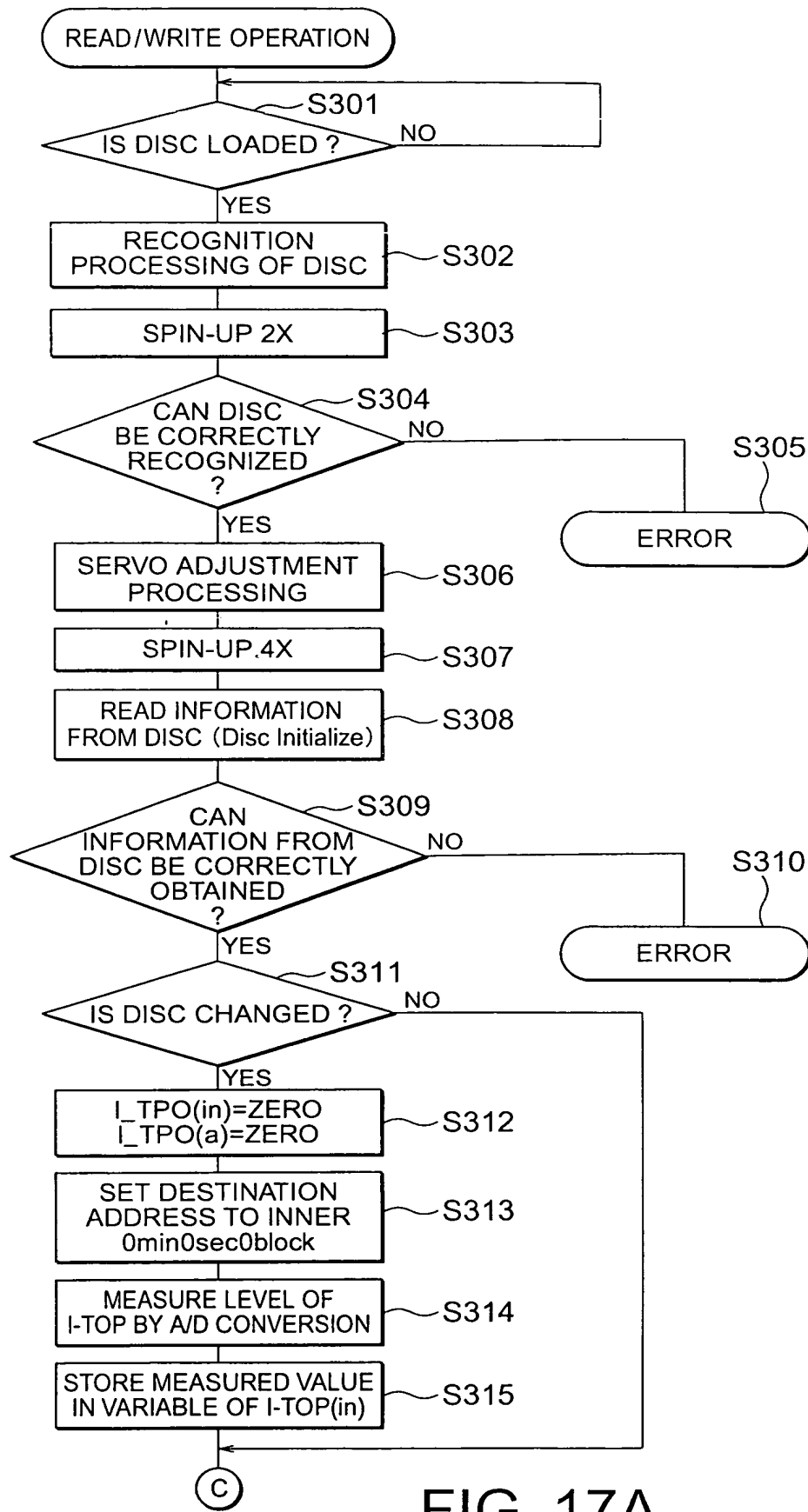


FIG. 17A

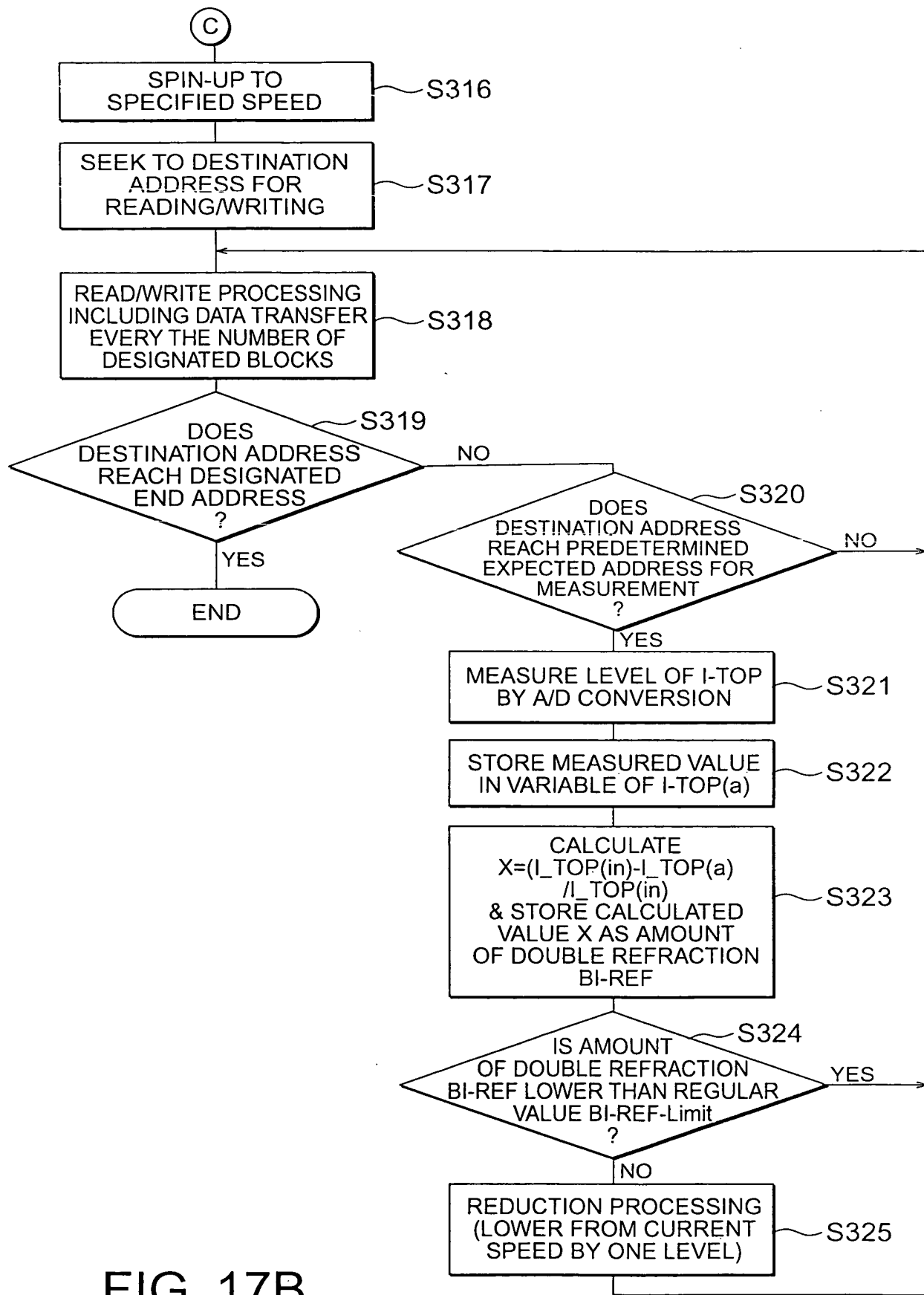


FIG. 17B

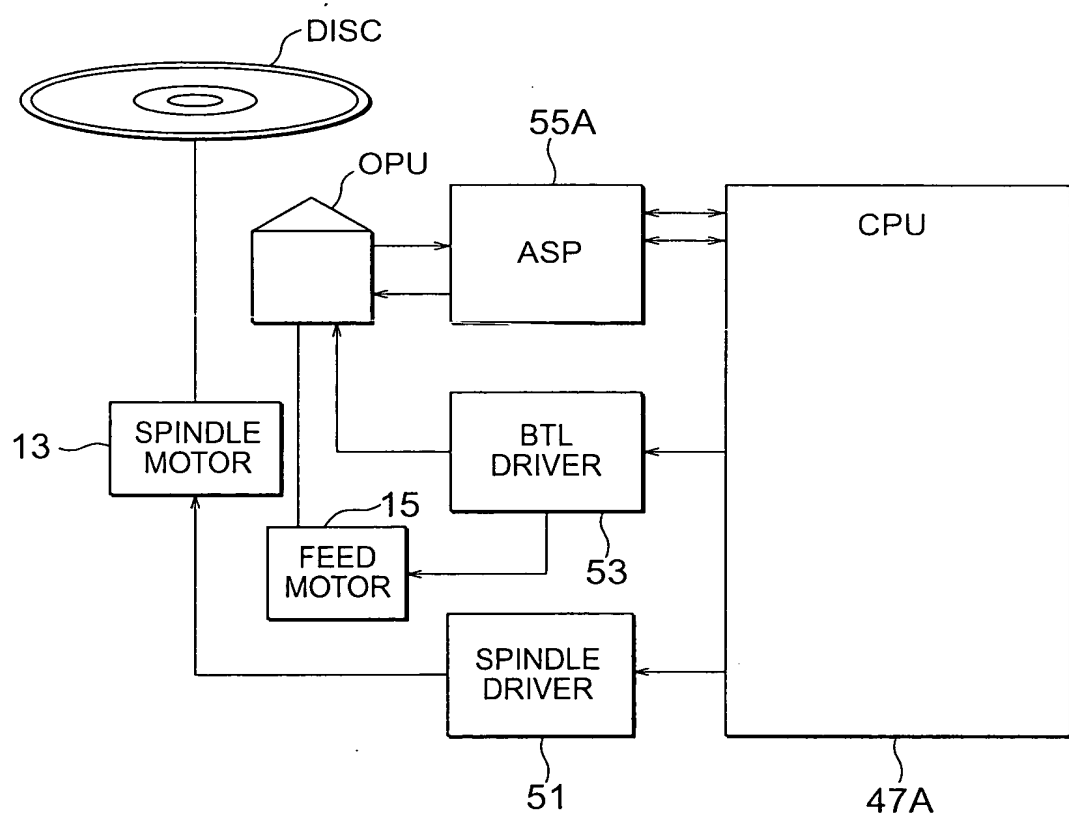


FIG. 18

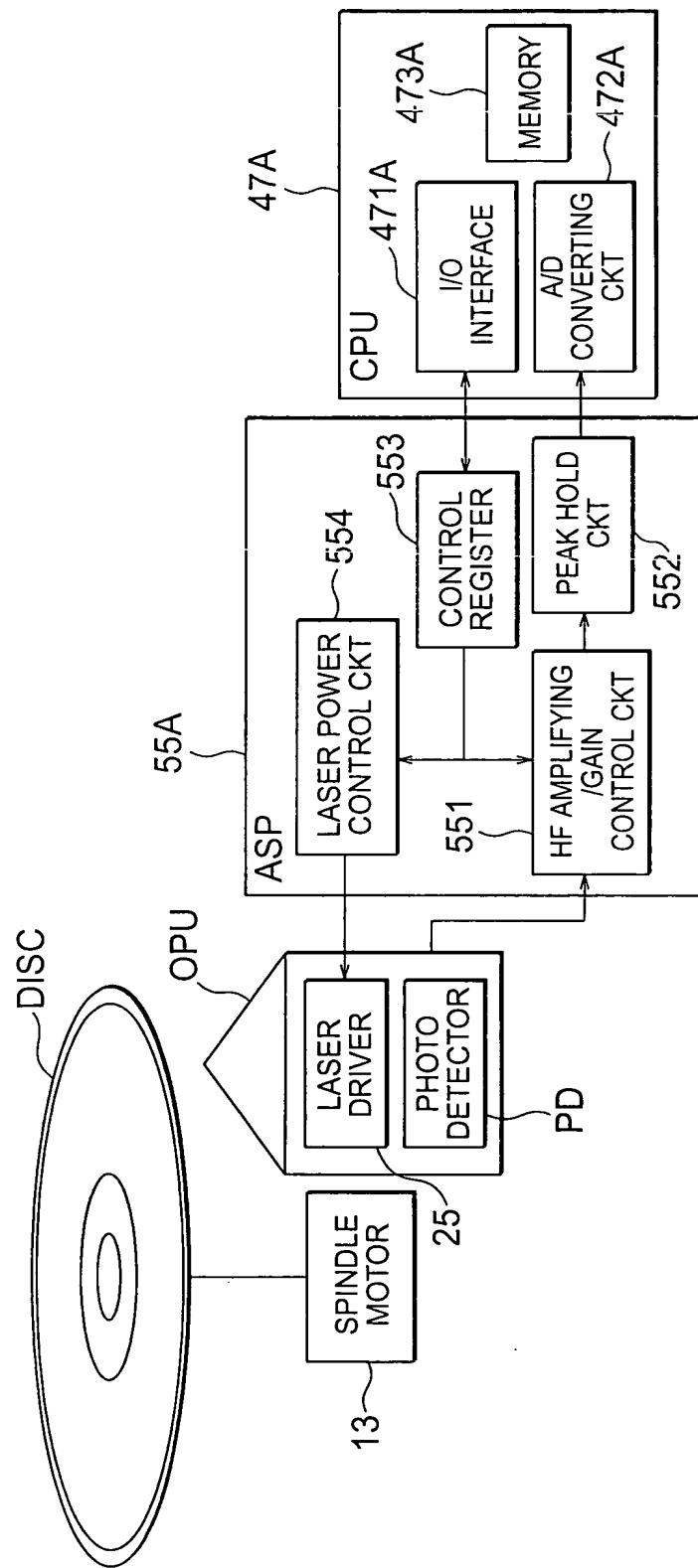


FIG. 19

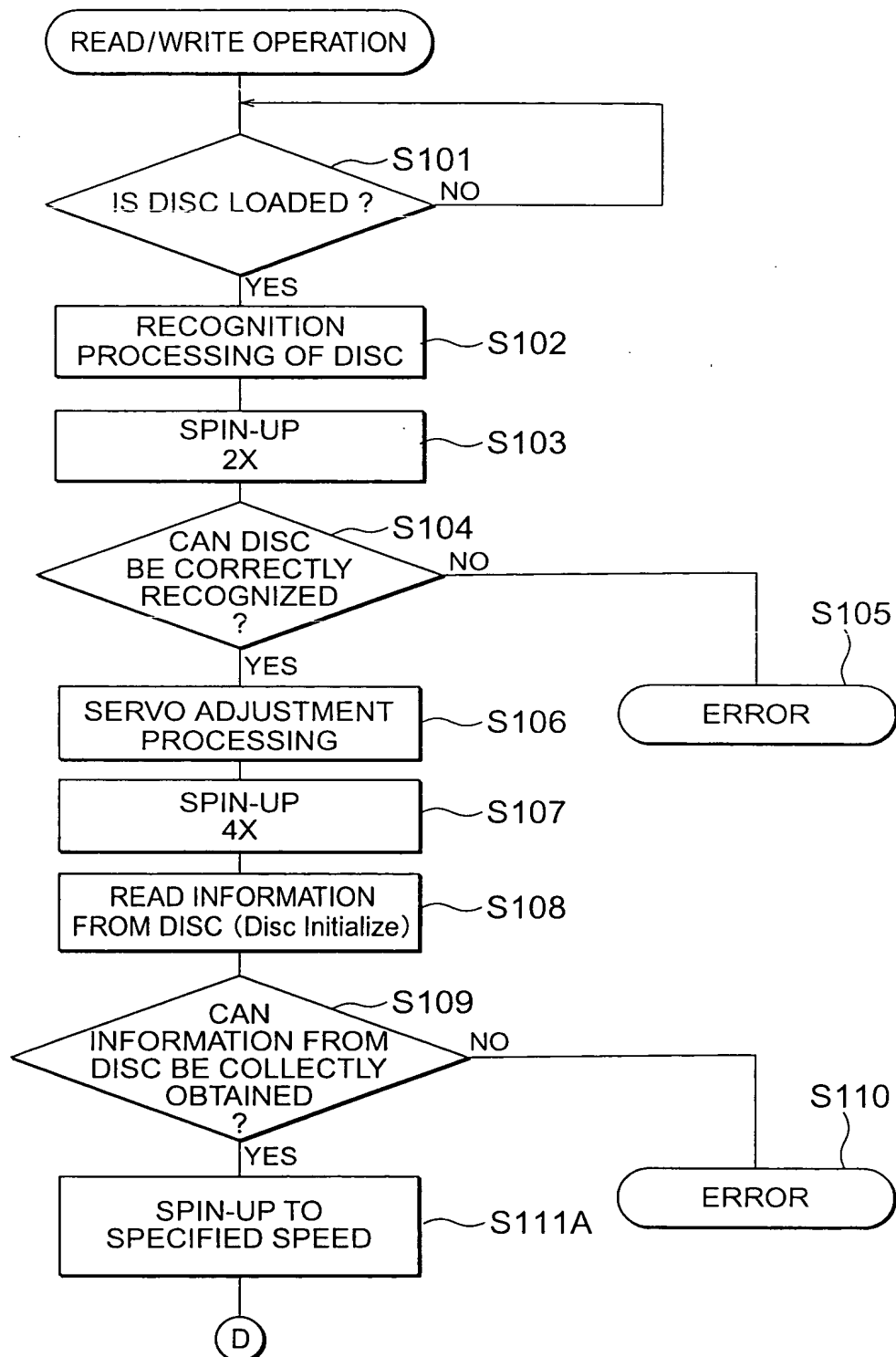


FIG. 20A

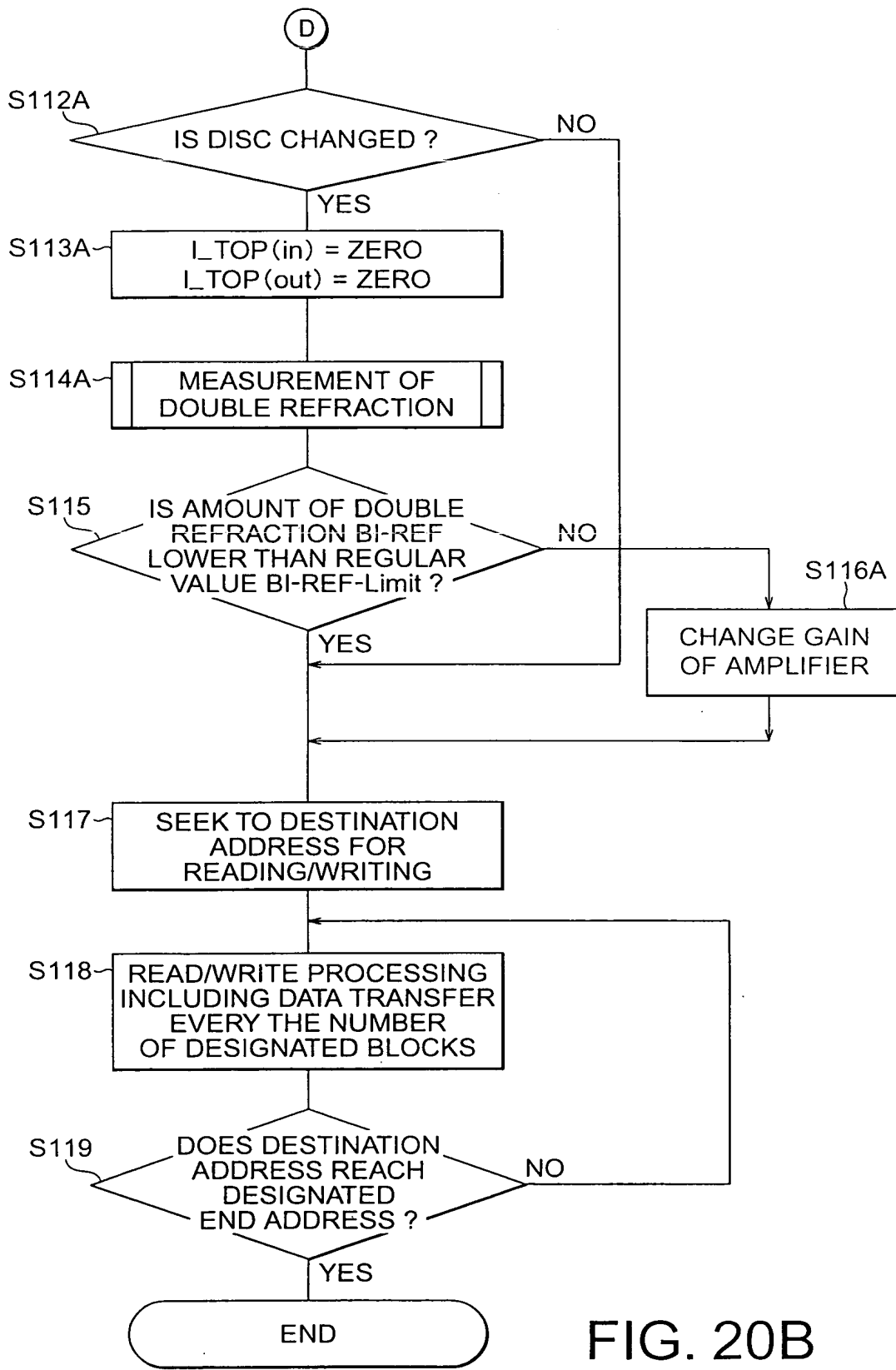


FIG. 20B

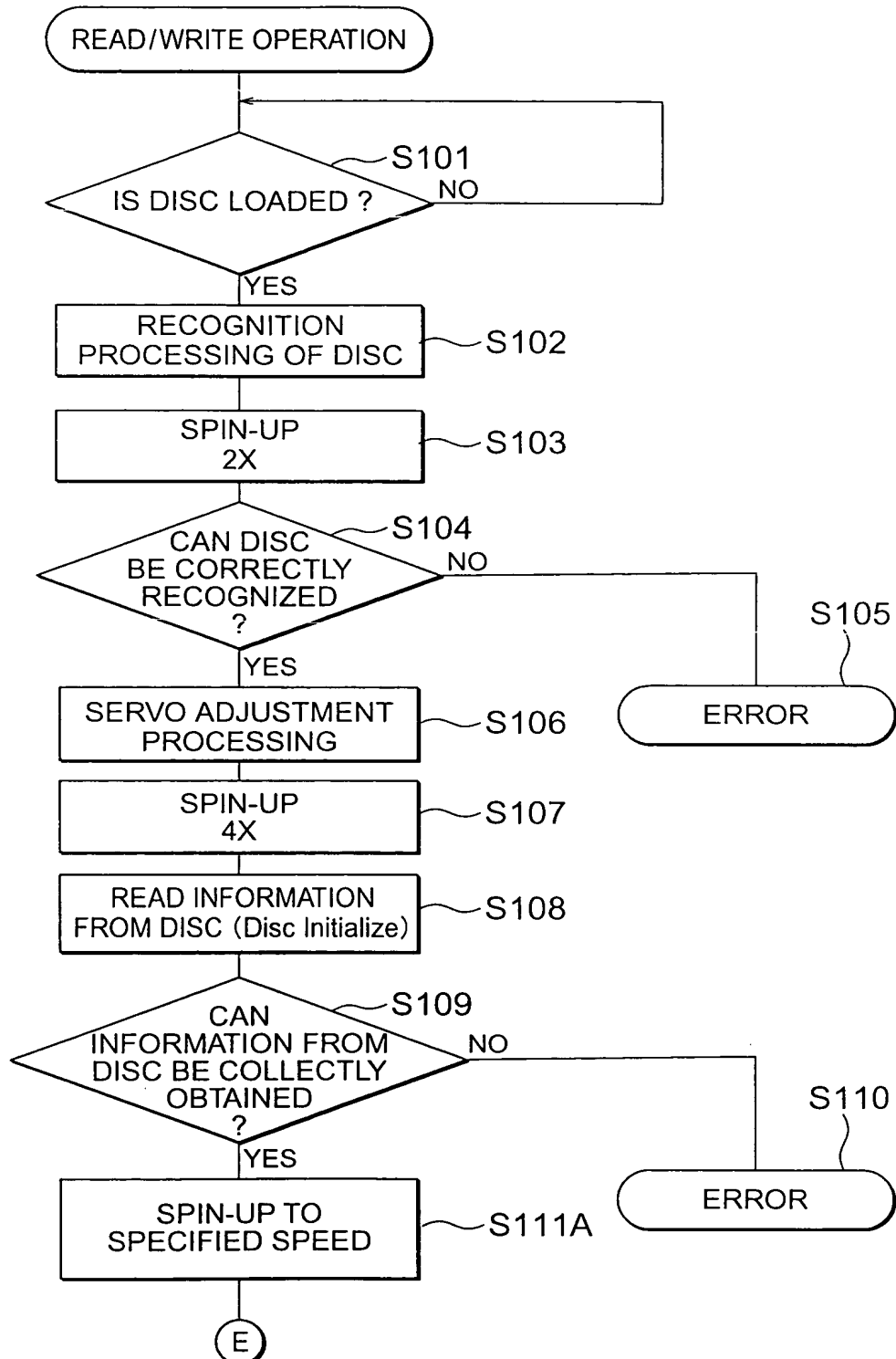


FIG. 21A

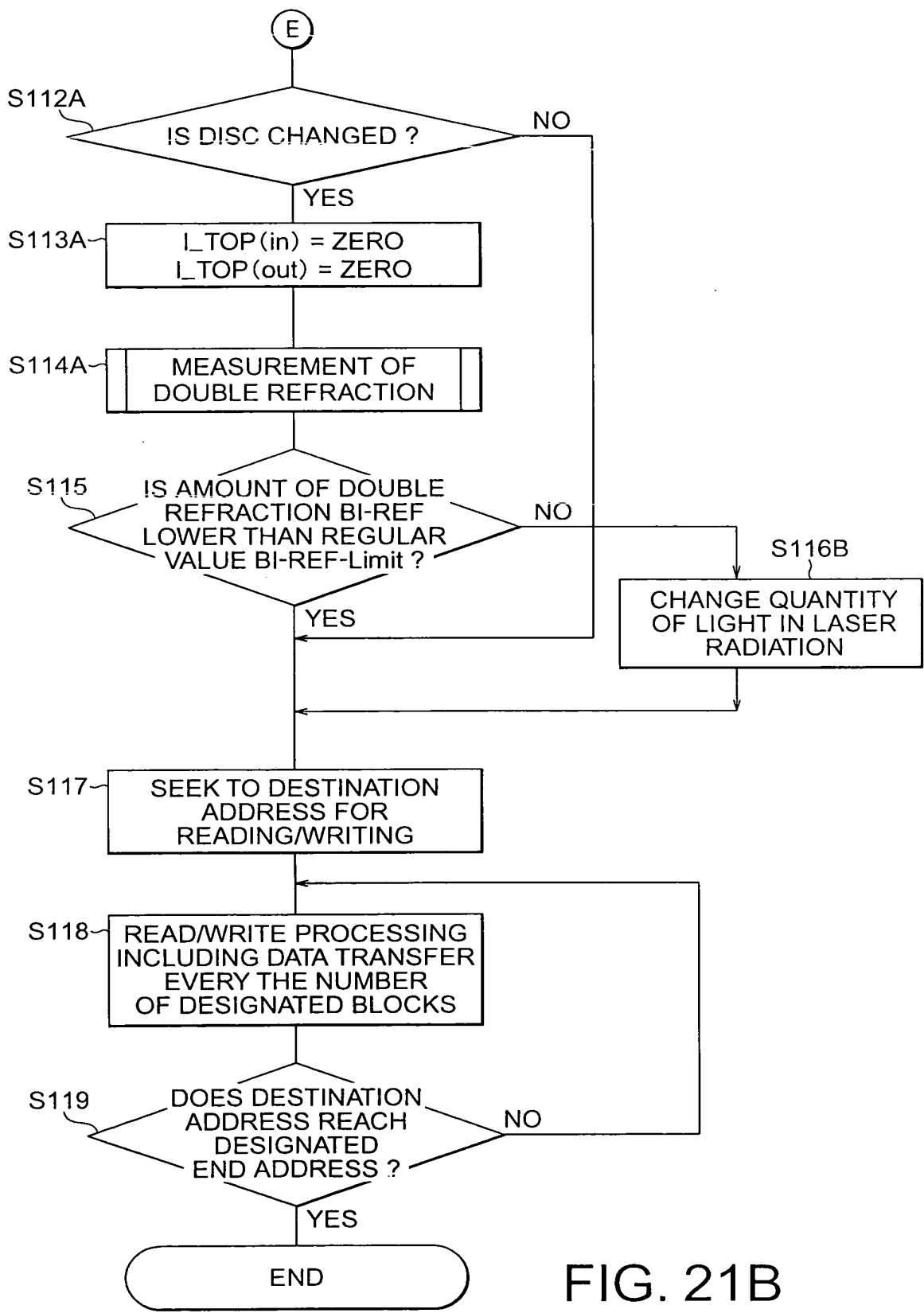


FIG. 21B

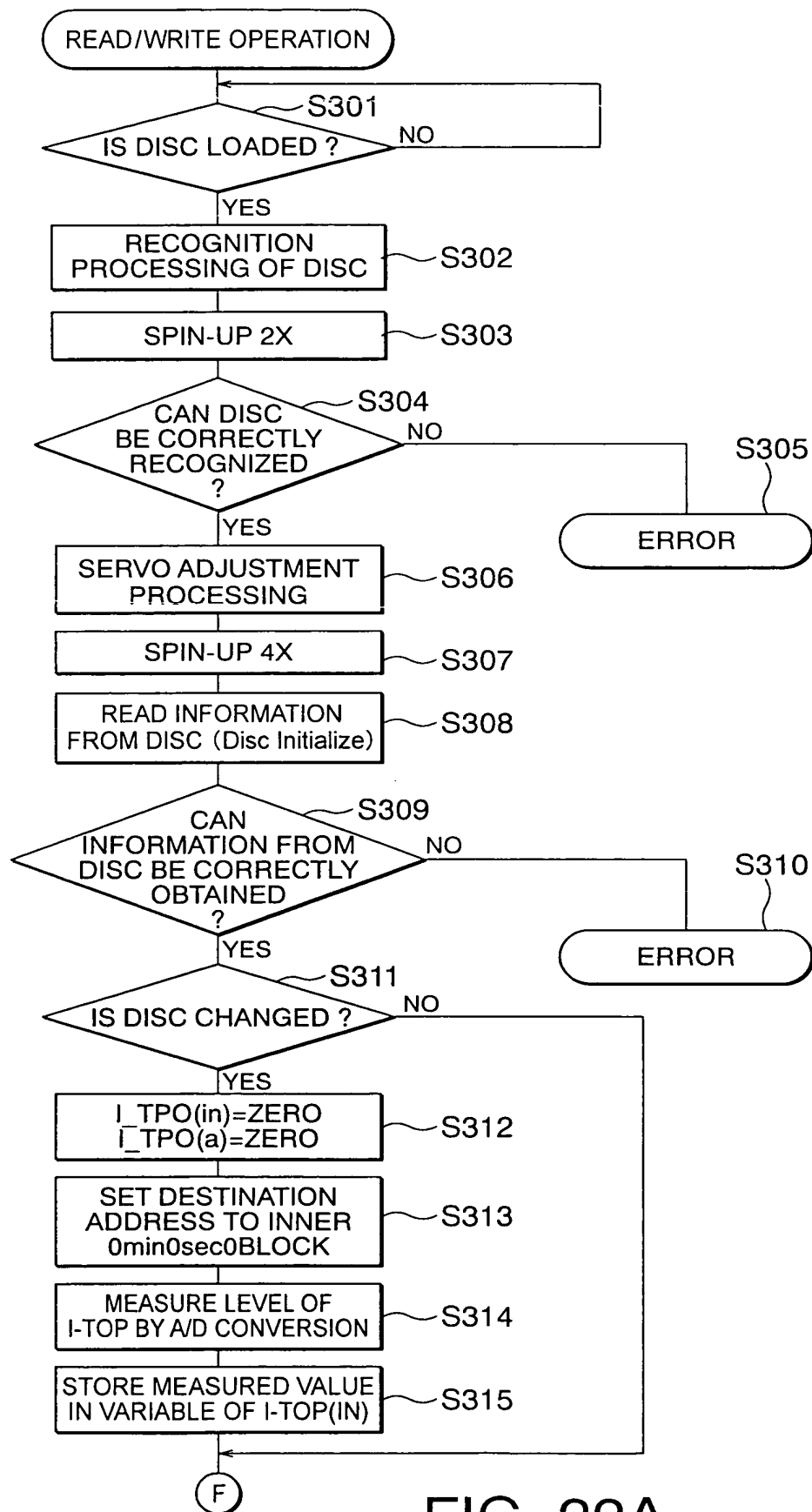


FIG. 22A

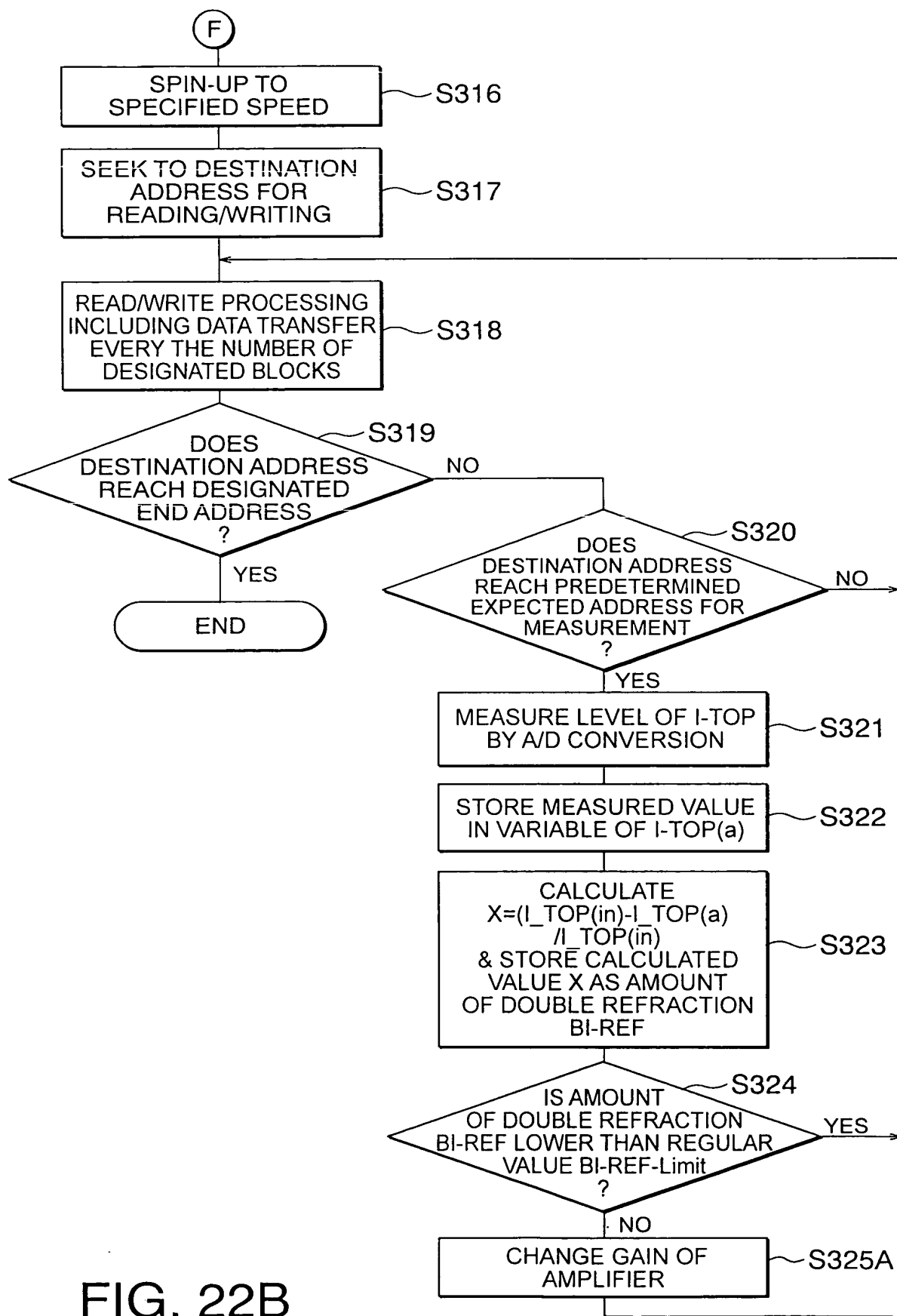


FIG. 22B

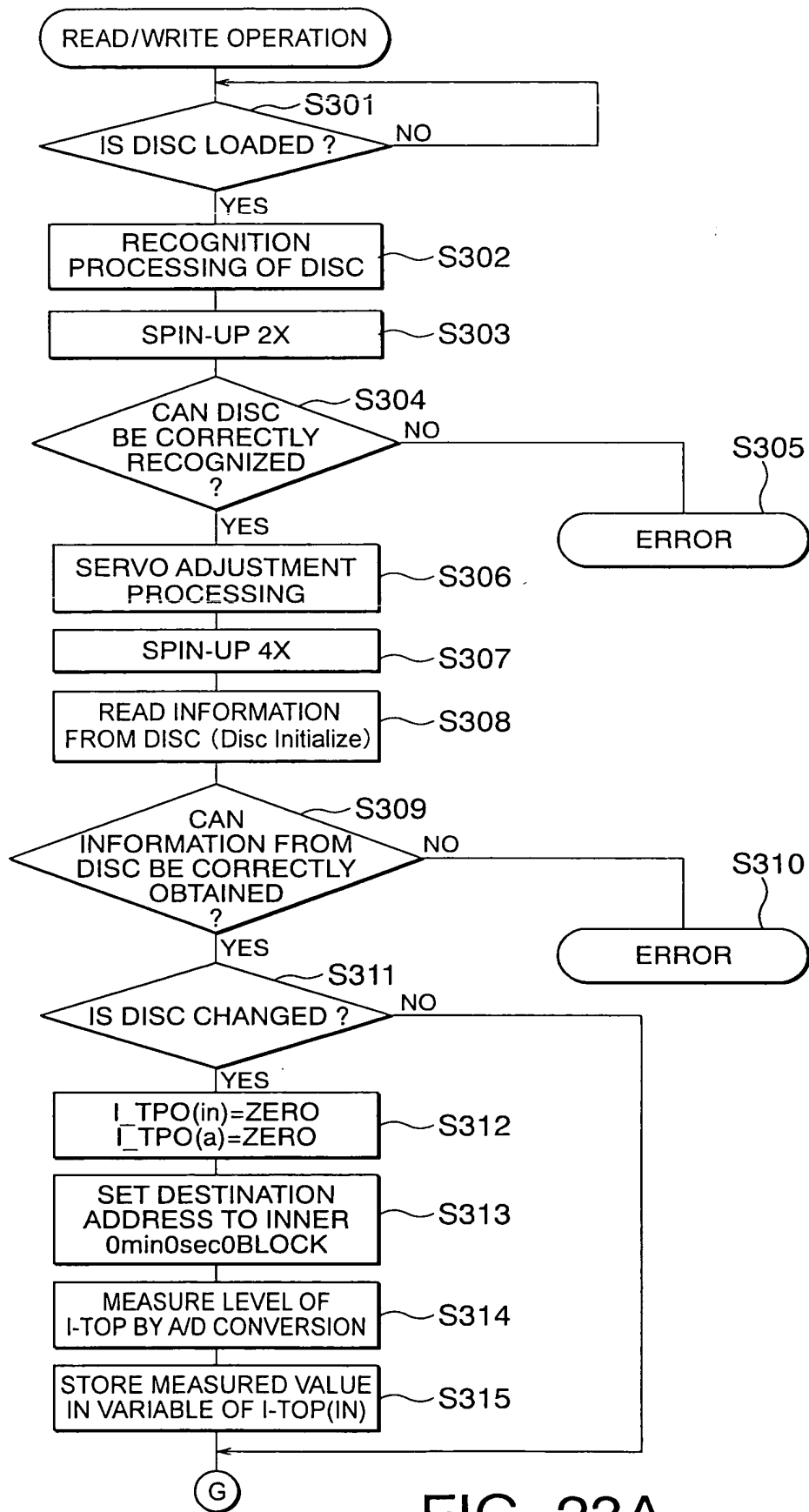


FIG. 23A

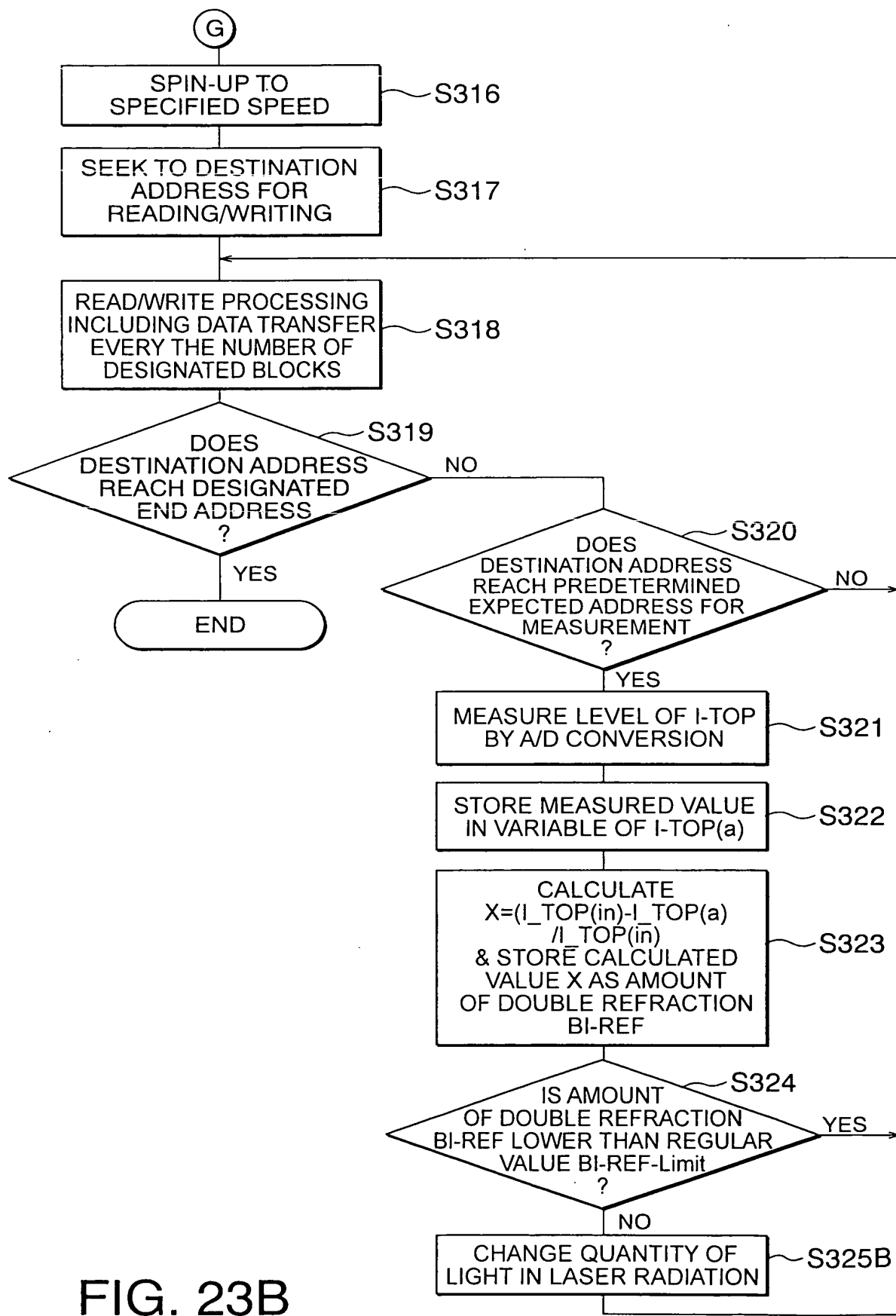


FIG. 23B

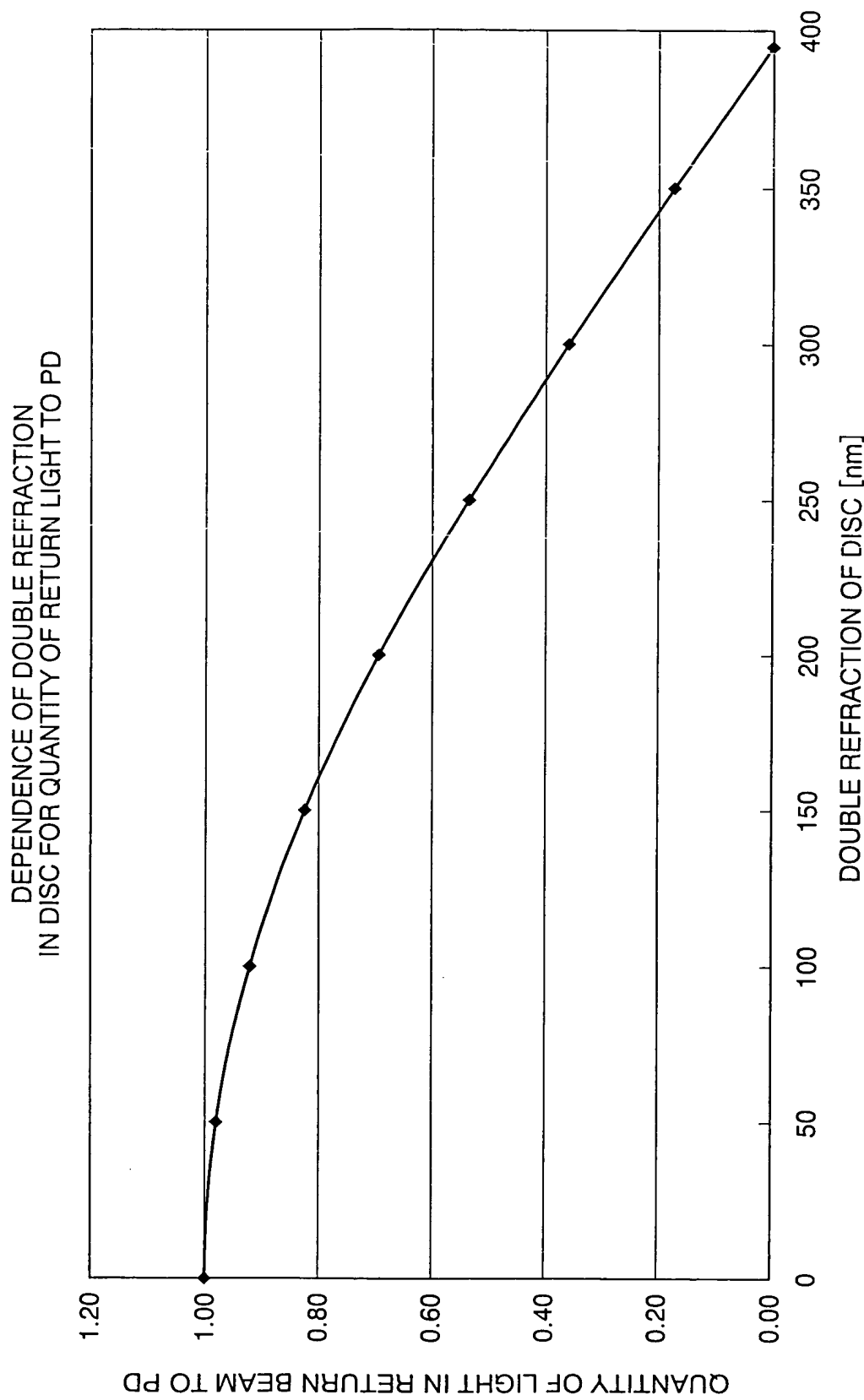


FIG. 24

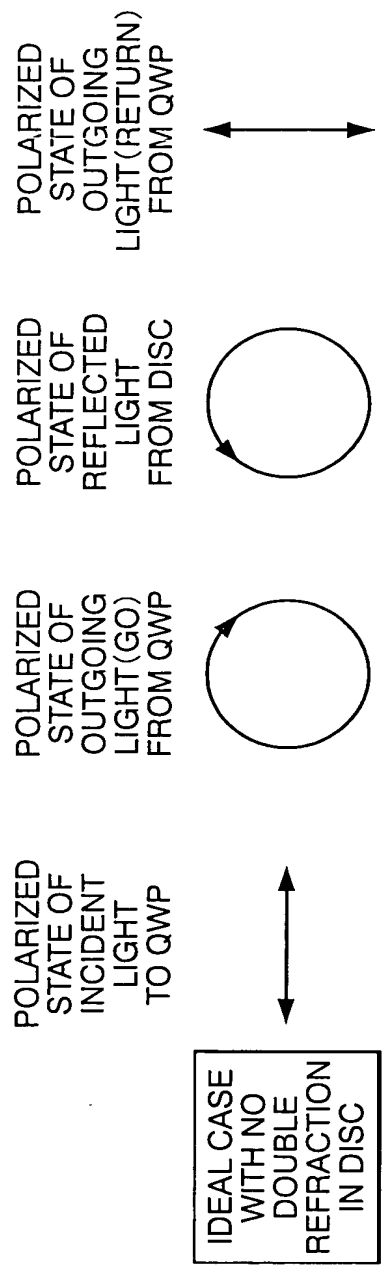


FIG. 25A

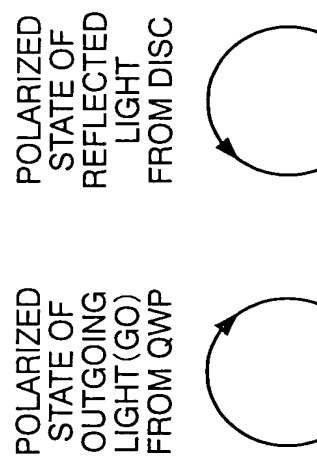


FIG. 25B

$0 < \delta < \pi/2$

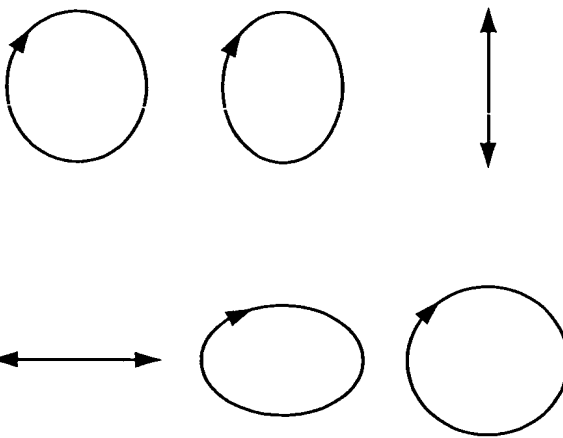


FIG. 25C

$\delta = \pi/2$

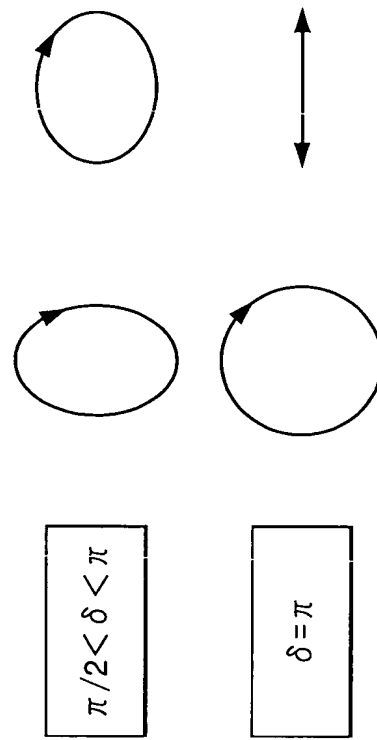
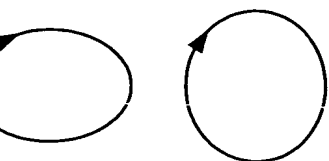
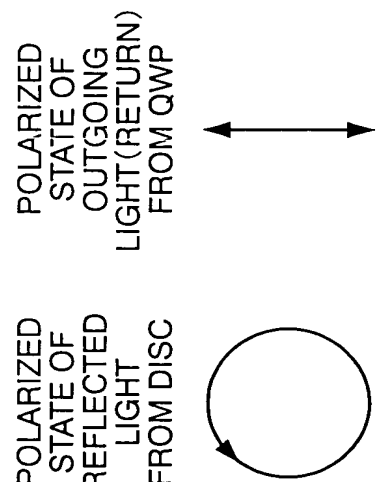


FIG. 25D

$\pi/2 < \delta < \pi$

FIG. 25E

$\delta = \pi$



$\delta = \pi$

AMOUNT OF DOUBLE REFRACTION IN DISC	PHASE SHIFT	QUANTITY OF INCIDENT LIGHT TO PD-IC
[nm]	[radian]	
0	0.00	1.00
50	0.40	0.98
100	0.80	0.92
150	1.20	0.83
200	1.60	0.70
250	2.00	0.54
300	2.40	0.36
350	2.80	0.17
392.5	3.14	0.00
450	3.60	0.23
500	4.00	0.42
550	4.40	0.59
600	4.80	0.74
650	5.20	0.86
700	5.60	0.94
750	6.00	0.99
785	6.28	1.00

FIG. 26

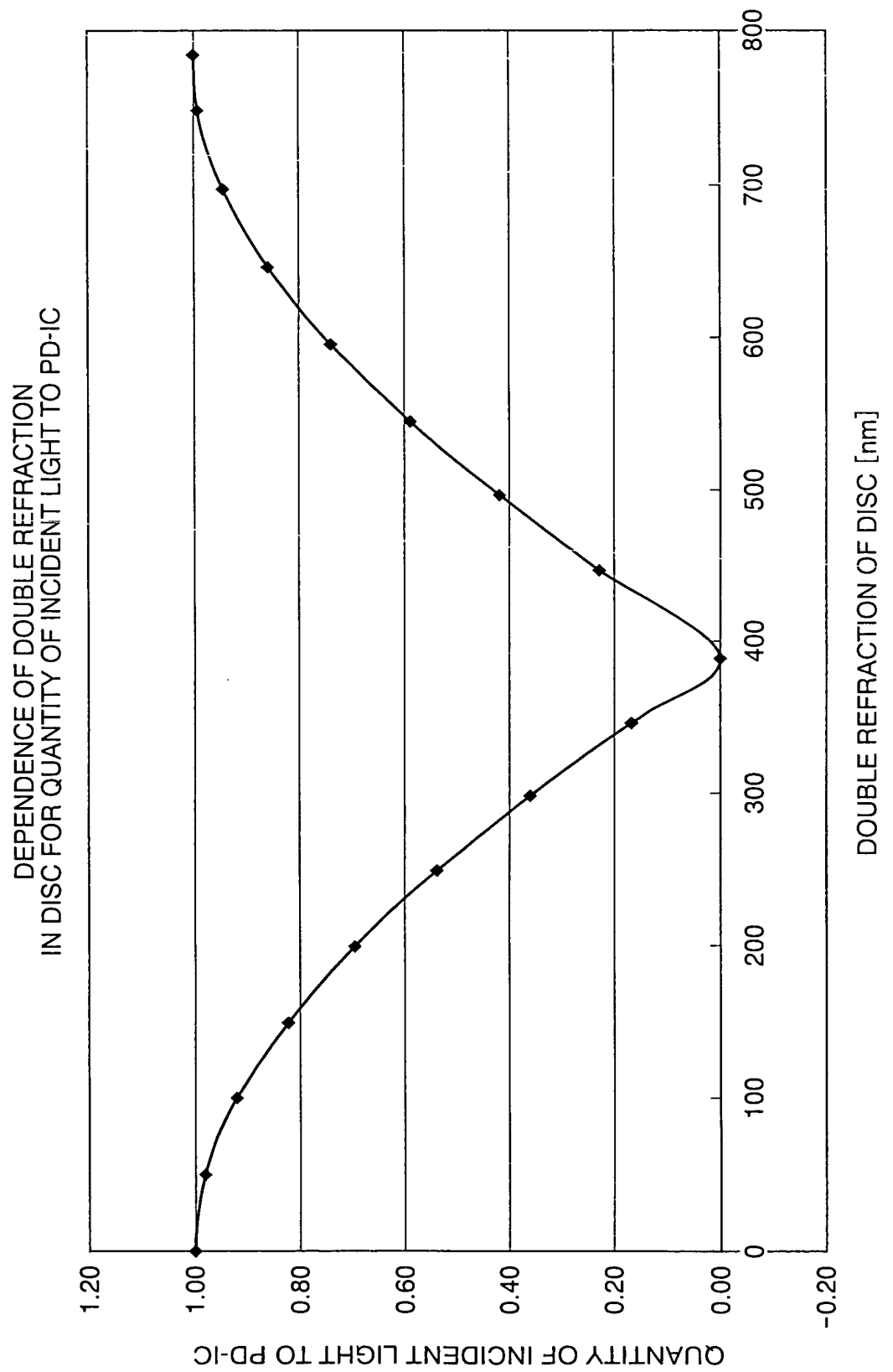


FIG. 27